

EINFLUSS VON WASSERDAMPF AUF HOCHTEMPERATURBESCHICHTUNGEN

ROBERT VAßEN^{1,2}, EMINE BAKAN¹, OLIVIER GUILLON^{1,3}

*¹FORSCHUNGSZENTRUM JÜLICH GMBH, INSTITUTE OF ENERGY AND CLIMATE RESEARCH: MATERIALS SYNTHESIS
AND PROCESSING (IEK-1), JÜLICH, GERMANY.*

²INSTITUT FÜR WERKSTOFFE, RUHR-UNIVERSITÄT BOCHUM, BOCHUM, GERMANY

³JÜLICH AACHEN RESEARCH ALLIANCE, JARA-ENERGY, GERMANY

ÜBERBLICK

Einleitung

Schutzschichten für Faserverbundwerkstoffe (EBCs)

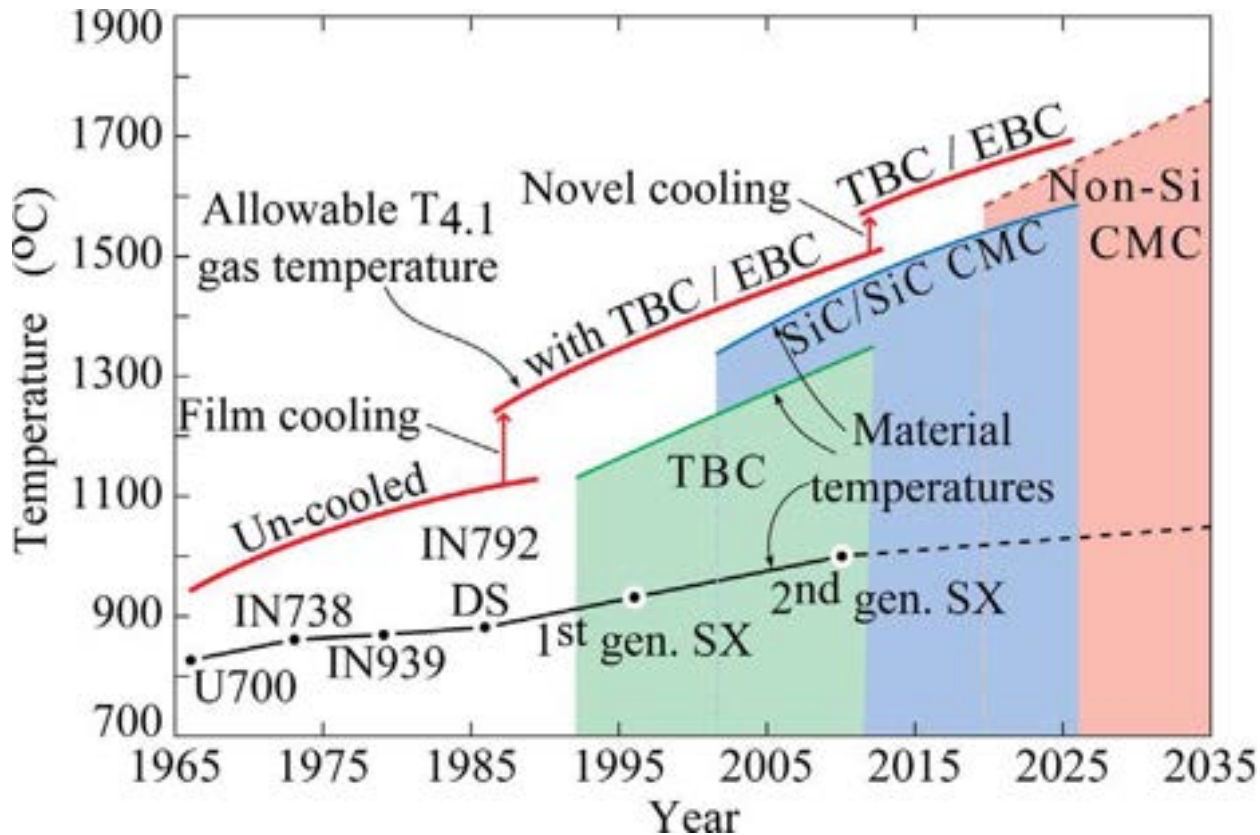
Vorstellung unterschiedliche Testmöglichkeiten:

- Gasbrenner
- IKTS-Rig
- HVOF-Brenner

Einfluss von Wasserdampf auf Wärmedämmschichten

Zusammenfassung

EINLEITUNG – BETRIEBSTEMPERATUREN GASTURBINEN



Verbesserte Effizienz/Lebensdauer von Gasturbinenkomponenten durch:

Wärmedämmschichten (WDS) /
Thermal Barrier Coatings (TBCs)

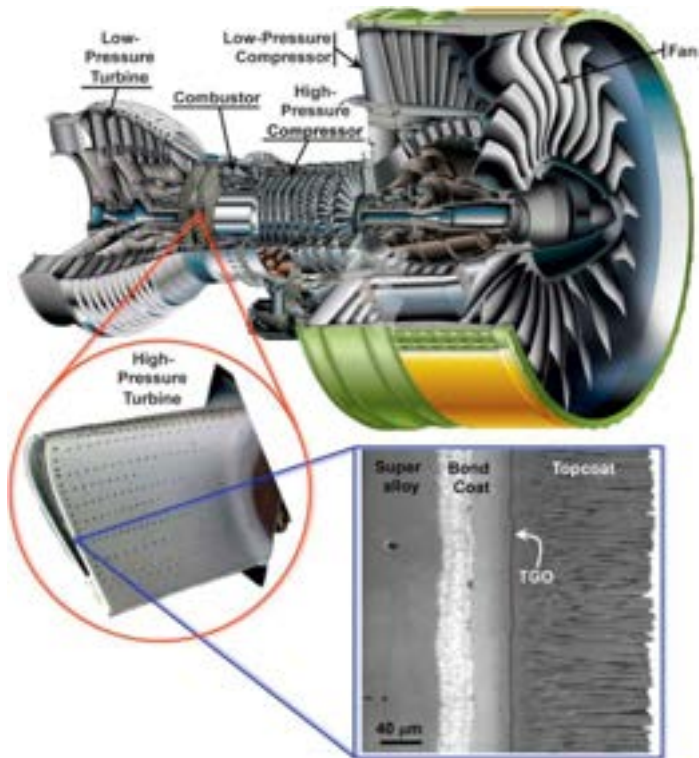
Faserverbundwerkstoffe /
Ceramic Matrix Composites (CMCs)

+
Schutzschichten / Environmental Barrier
Coatings (EBCs)

B. T. Richards, H. N. G. Wadley, *Journal of the European Ceramic Society* 2014, 34, 3069-3083.

EINFÜHRUNG – GASTURBINEN-BESCHICHTUNGEN

Nickel Basis Superlegierungen plus
Wärmedämmschichten/Thermal Barrier Coatings
(WDS/TBCs)



D.R. Clarke, M. Oechsner, N.P. Padture, MRS Bulletin, 37 (2012) 891-898.

Mitglied der Helmholtz-Gemeinschaft

Keramische Faserverbundwerkstoffe (CMCs) plus
Schutzschichten/Environmental Barrier Coatings
(EBCs)



J. Steibel, American Ceramic Society Bulletin 98, 3 (2019) 30-33.

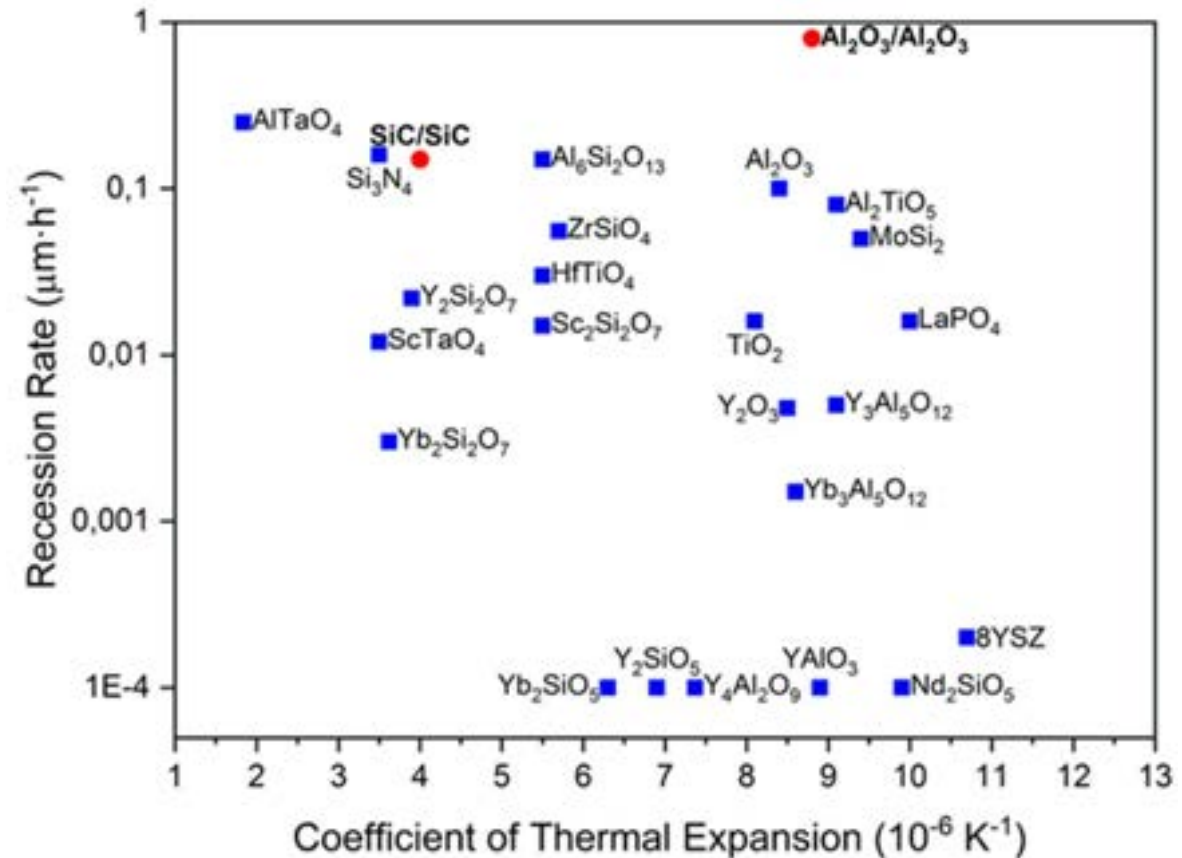
ENVIRONMENTAL BARRIER COATINGS (EBCs)

Auswahlkriterien für EBCs:

- Exzellente Korrosionsbeständigkeit
- Thermische und chemische Stabilität
- Gute Anbindung
- Geringer Ausdehnungskoeffizientunterschied $\Delta\alpha$ zum Substrat:

Energiefreisetzungsrate:

$$G = \frac{\sigma^2 h}{2E_{EBC}} \propto E_{EBC} h \Delta\alpha^2$$



M. Herrmann, H. Klemm, *Comprehensive Hard Materials* **2014**, 2, 413-446.

ALTERUNG VON SCHUTZSCHICHTEN (EBCS)

Reaktion Wasserdampf mit SiC

SiC bildet bei hohen Temperaturen eine schützende SiO₂ Schicht



SiO₂ verflüchtigt sich in schnellem Wasserdampf (wie viele Oxide)



Die schnelle Entfernung der Reaktionsprodukte bewirkt eine sichtbare Degradation, für die Diffusion durch die Grenzschicht unterscheidet man zwischen laminaren und turbulenten Bedingungen:

$$k_{laminar} = a \cdot \exp\left(\frac{-E}{RT}\right) \cdot v^{1/2} \cdot (P_{H_2O})^n \cdot P^{-1/2}$$

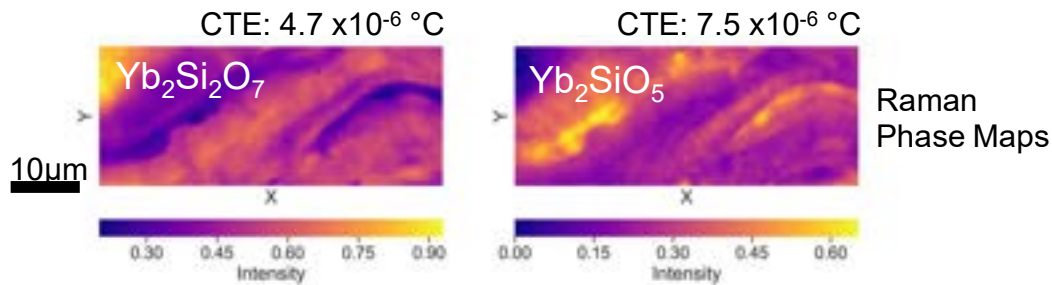
$$k_{turbulent} = a \cdot \exp\left(\frac{-E}{RT}\right) \cdot v^{4/5} \cdot (P_{H_2O})^n \cdot P^{-1/5}$$

E. J. Opila et al., J. Am. Ceram. Soc., 1999

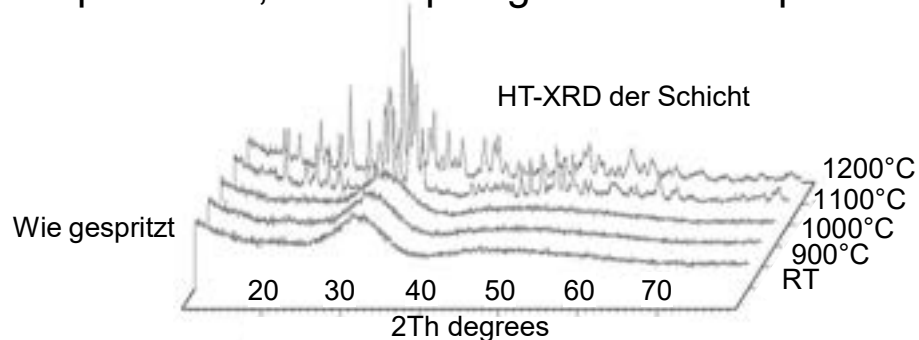
EBCS ÜBER THERMISCHE SPRITZTECHNOLOGIEN

Problemstellungen bei der Schichtherstellung:

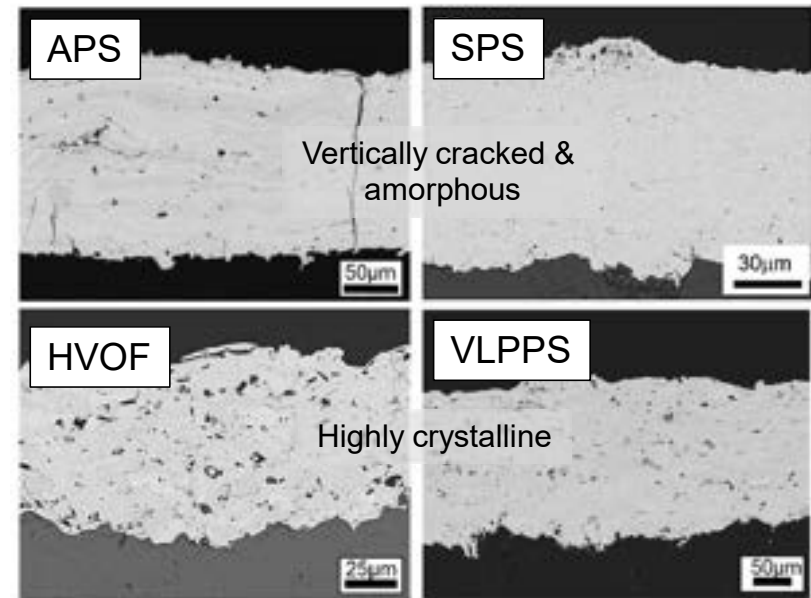
- **Zweitphasen** (Yb_2SiO_5) in $\text{Yb}_2\text{Si}_2\text{O}_7$ Lagern mit hohem CTE durch hohe Prozesstemperaturen (Si-Verlust)



- **Hoher amorpher Anteil** hoch aufgrund der schnellen Abkühlung auf typischerweise niedrige Substrattemperaturen, Schrumpfung bei Hochtemperatureinsatz



- **APS:** Atmospheric Plasma Spraying
- **SPS:** Suspension Plasma Spraying
- **HVOF:** High-Velocity Oxygen Fuel
- **VLPPS:** Very Low Pressure Plasma Spraying



E. Bakan et al. J Therm Spray 26(3) 2017
E. Bakan et al. Coatings 7(4) 2017
R. Vaßen et al. Coatings 9(12) 2019

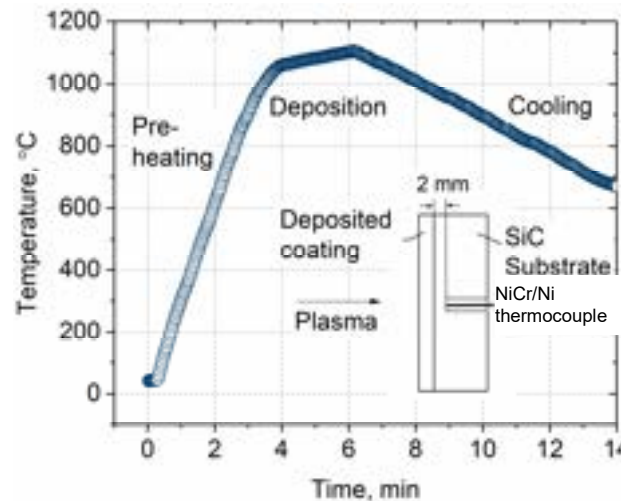
HERSTELLUNG VON EBCS FÜR TESTS

Very Low Pressure Plasma Spraying (VLPPS)

- O3CP Torch
- 110Ar/20He
- 2100A-90kW (Partikel-Deposition)
- 200Pa



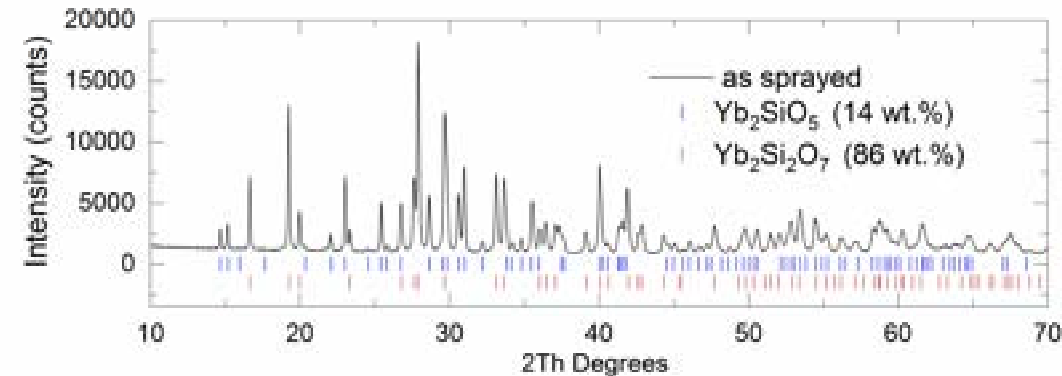
Angepasstes Temperaturprogramm:



- Herstellung bei über 1000 °C
- Vor und nach Beschichtung Heizen der Probe mit Plasmafackel
- Langsame Kühlraten (~55K/min)

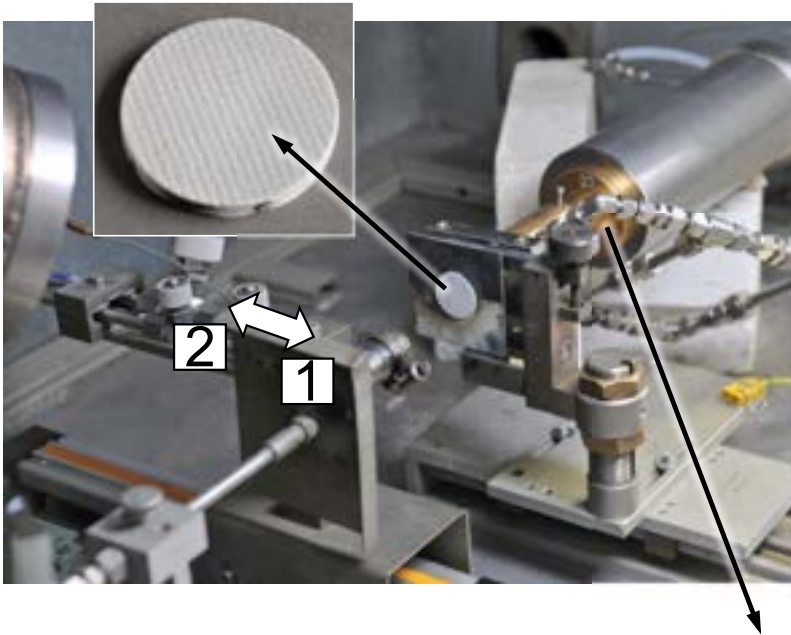
Kristalline und dichte Schichten!

Röntgendiffraktogramm zeigt hochkristalline Schicht:



THERMISCHES ZYKLIERUNG IM GASBRENNERTEST

EBC auf SiC/SiC



- Erdgas/Sauerstoff Brenner
- Probengröße $\varnothing=30$ mm, Dicke 3.0-3.5 mm
- 5 min Heizen, 2 min Kühlen

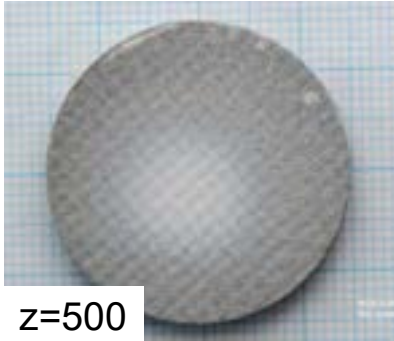
Angepasstes Pyrometer für die Rückseite kombiniert mit Kühldüse

Bedingung	Gesamtgasfluss [slpm]	Geschätzte Flammgeschwindigkeit [m/s]	Geschätzter Wasserdampfgehalt in Flamme(vol.%)
Standard	1146	8	49
Mit H ₂ O Injektion (120 g/h)	1611	47	53

Probe	Test-Bedingungen				
	Waserinjektion	Aufprallwinkel	$T_{\text{Oberfläche}}$	$T_{\text{Rückseite}}$	Zyklusanzahl
1	Nein (Standard)	90°	1250 °C	650 °C	500
2	Ja	90°			
3	Ja	45°			

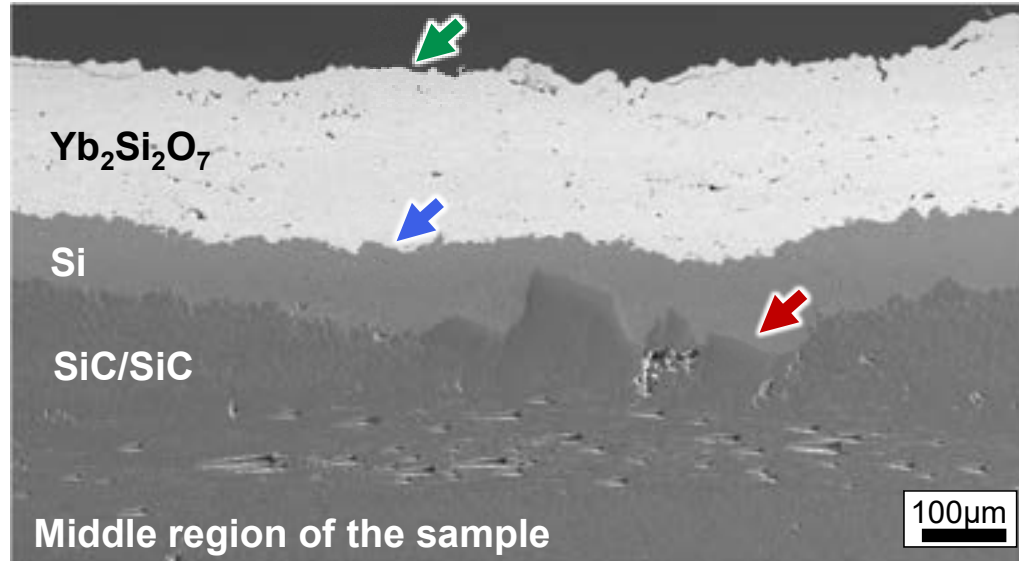
E.Bakan et al. J. Europ. Ceram. Soc 40 (2020) 6236

BURNER RIG TEST (STANDARD) RESULTS



Test conditions:
 $T_{\text{surface}} = 1250\text{ }^{\circ}\text{C}$,
 $T_{\text{back}} = 650\text{ }^{\circ}\text{C}$,
 $T_{\text{bond coat}} = 1120\text{ }^{\circ}\text{C}$

(approx. 42 h high temperature hold, 17 h cooling periods)



I. Indications of Yb₂Si₂O₇ reaction with H₂O (g) produced by the natural gas combustion

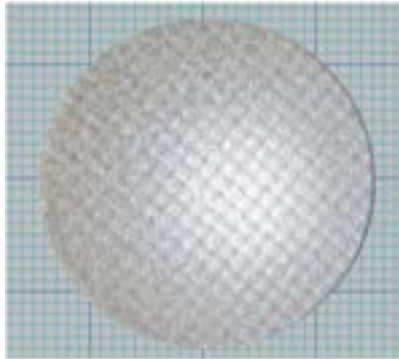
II. No visible oxidation product at the Si & SiC/SiC interfaces

III. The concentrated corrosion in the central part is probably associated with higher temperature in this region



BURNER RIG TEST (+H₂O liq.) RESULTS

90° test
120g/h H₂O injection

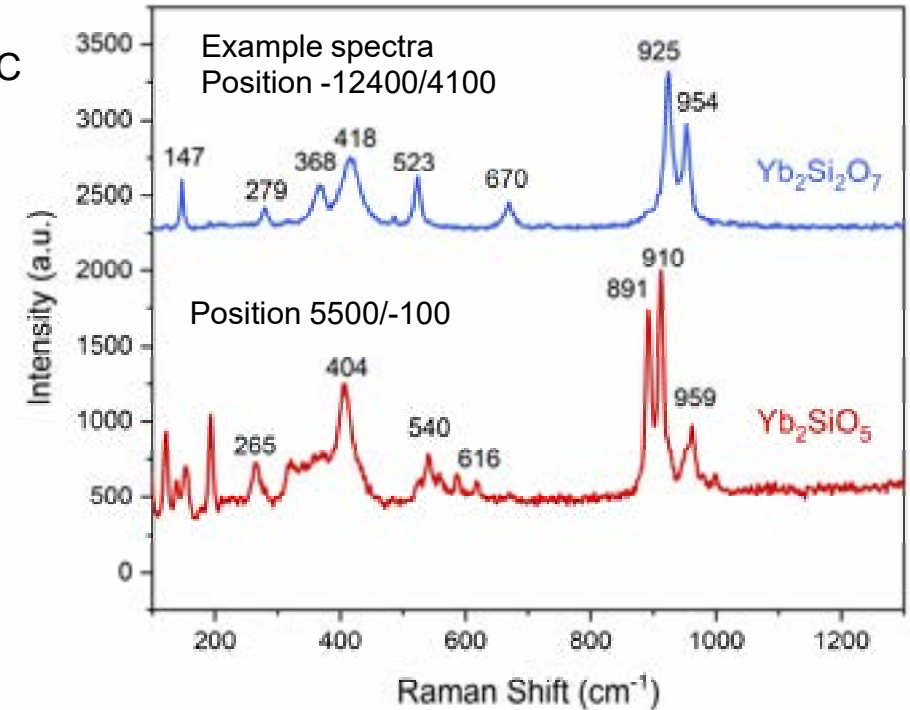
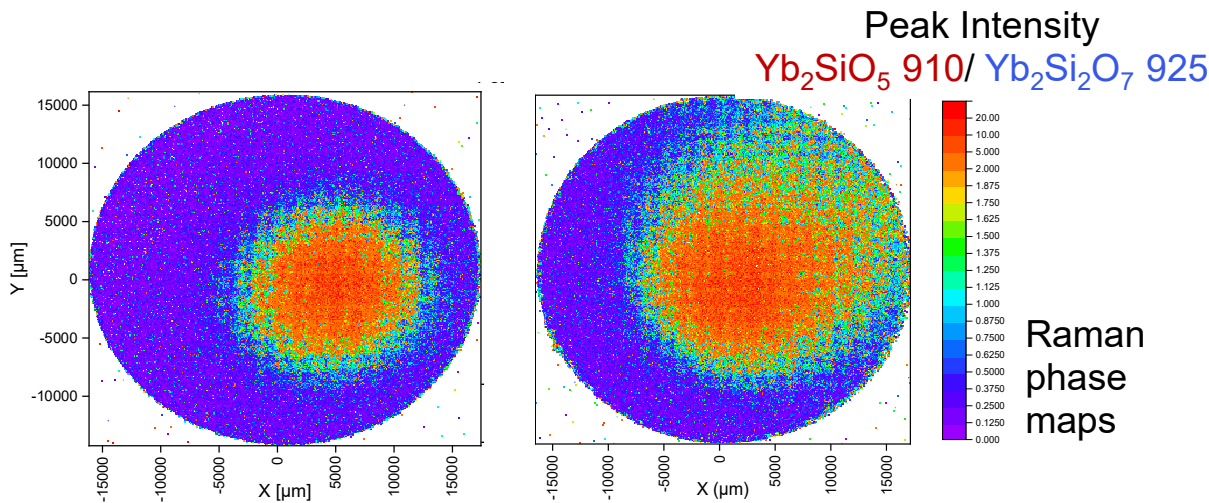


45° test
120g/h H₂O injection



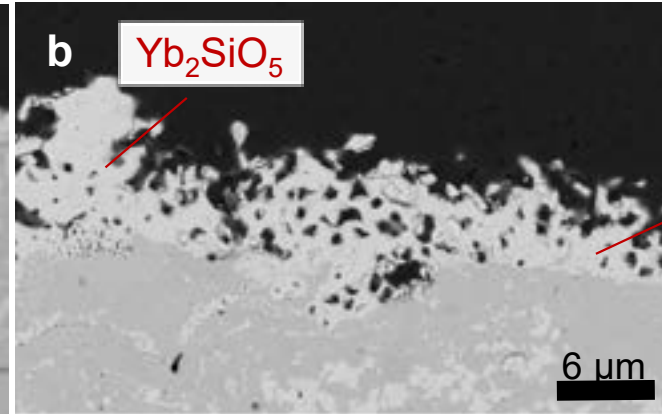
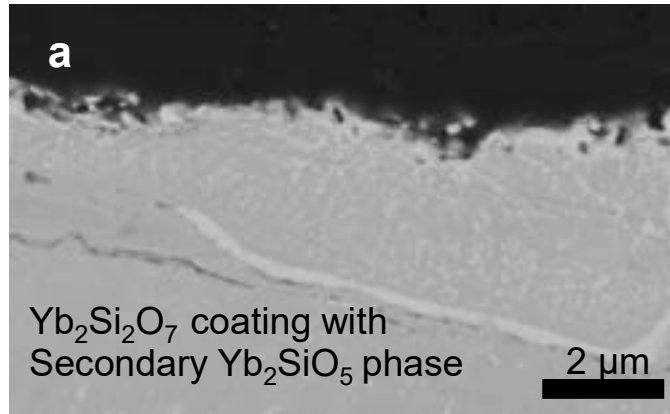
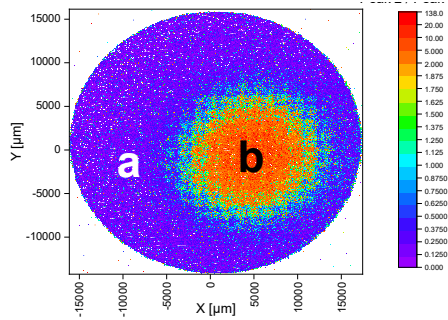
Test conditions:
 $T_{\text{surface}} = 1250 \text{ }^\circ\text{C}$
 $T_{\text{back}} = 650 \text{ }^\circ\text{C}$
 $T_{\text{bond coat}} = 1120 \text{ }^\circ\text{C}$
 500 cycles

Measurement conditions:
 Laser: 532 nm
 Integration time: 0.2 s
 Number of spectra: over 100000
 Step size of mapping: 100 μm



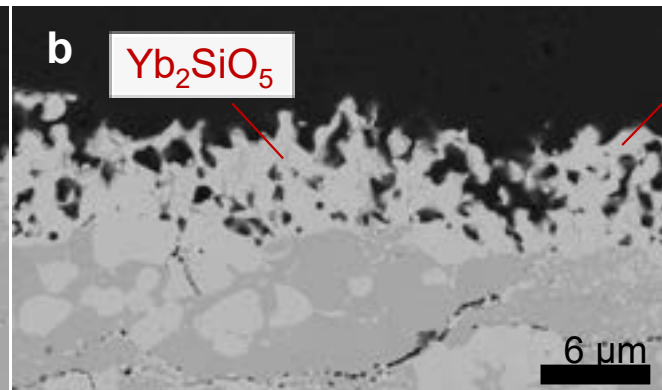
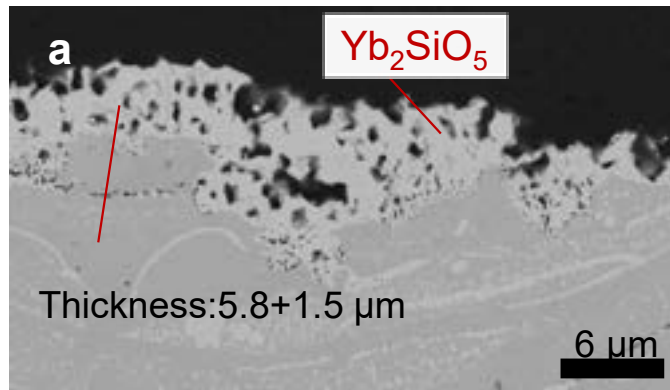
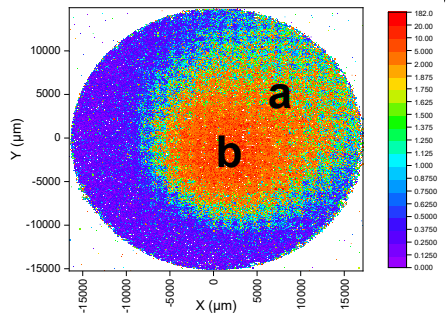
BURNER RIG TEST (+H₂O liq.) RESULTS

90° test
120g/h H₂O injection



Thickness:
5.7+1.8μm

45° test
120g/h H₂O injection



Thickness:
7.3+0.7μm

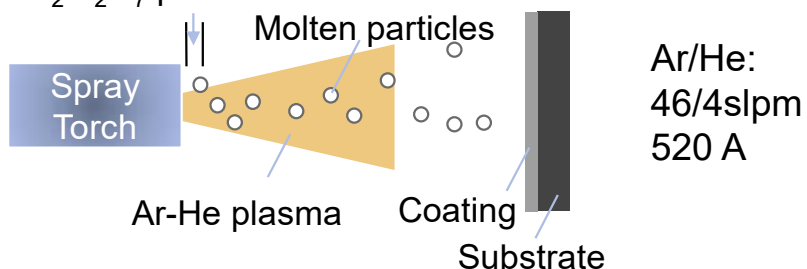
- $T_{\text{surf}}=1250$ °C, 500 cycles approx. 42 h high temperature hold, 17 h cooling periods

HIGH VELOCITY STEAM CORROSION TEST OF APS EBCS

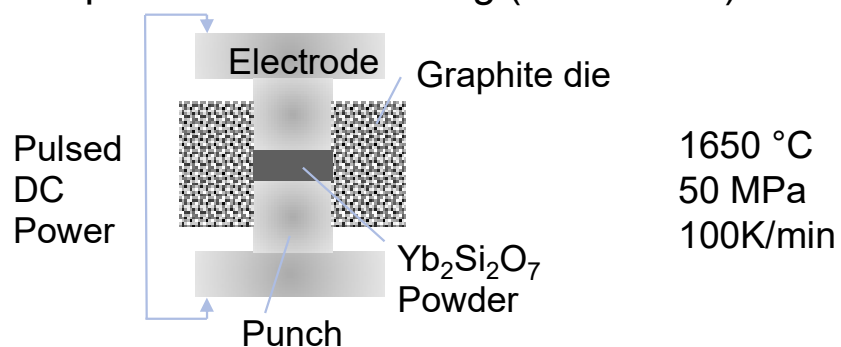
Sample Preparation

Atmospheric Plasma Spraying (APS)

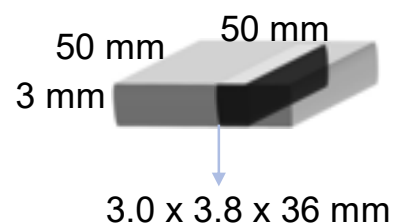
$\text{Yb}_2\text{Si}_2\text{O}_7$ powder feed



Field Assisted Sintering Technology- Spark Plasma Sintering (FAST-SPS)



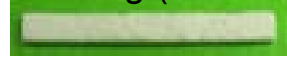
Free-standing coating
and sintered powder
sample were cut into
bars



As-sprayed coating
(amorphous)



Coating (1500°C-40 h, air)

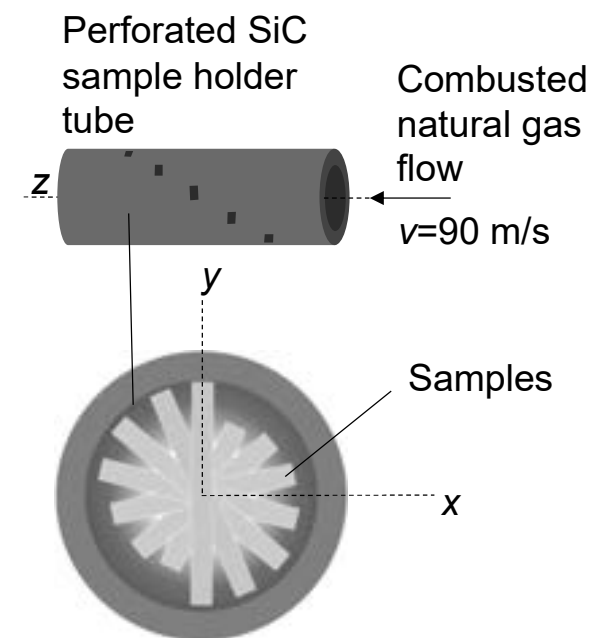


FAST-SPS



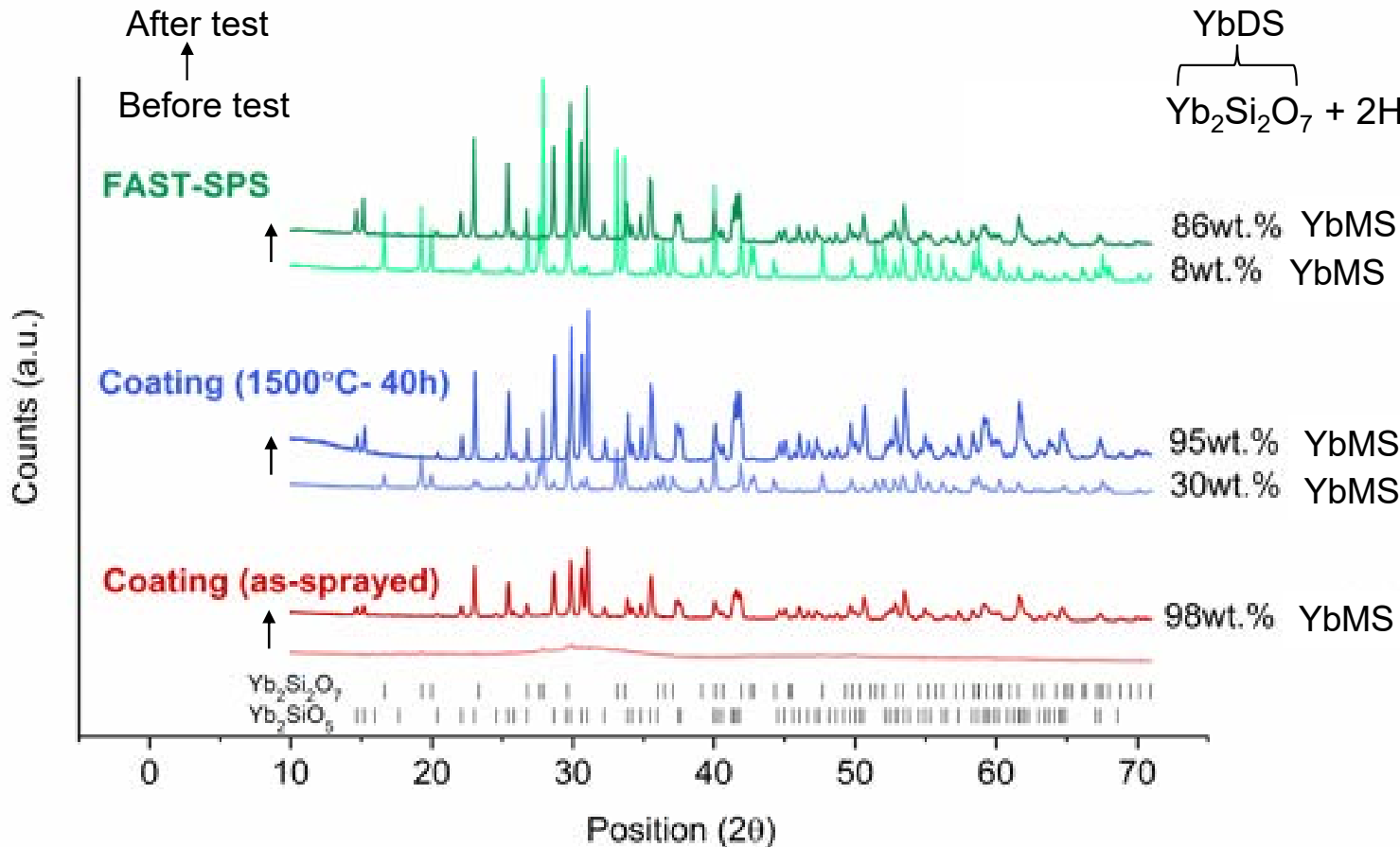
Test Conditions

$T=1400\text{ °C}$, $P_{\text{H}_2\text{O}}=0.19\text{ atm}$, $P_{\text{total}}=1\text{ atm}$



IKTS Dresden, Dr. Hagen Klemm

PHASE COMPOSITION OF SAMPLES BEFORE AND AFTER TEST



After test, surface depletion of SiO₂ from YbDS to form YbMS

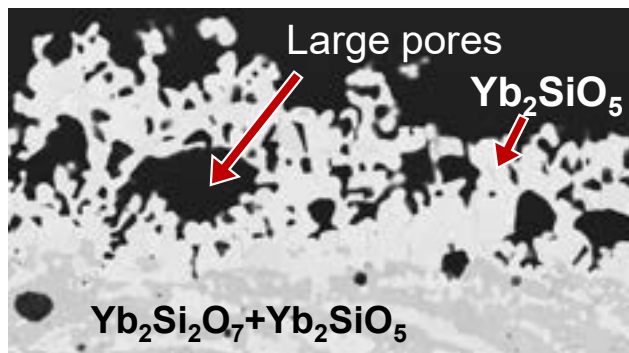
Si evaporation during plasma spraying of **YbDS feedstock (5 wt.% YbMS)**

As-sprayed coating is almost fully amorphous before the test, recrystallization takes place during the test

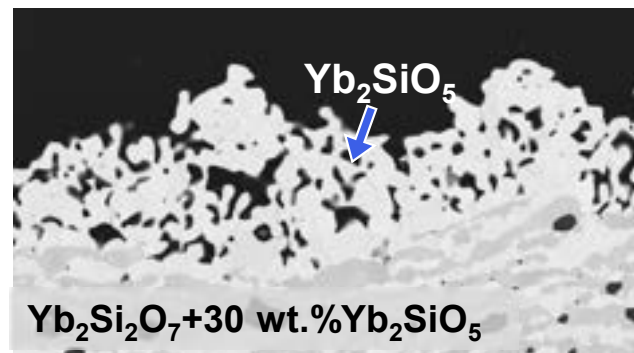
IKTS Dresden, Dr. Hagen Klemm

MICROSTRUCTURE OF SAMPLES AFTER TEST

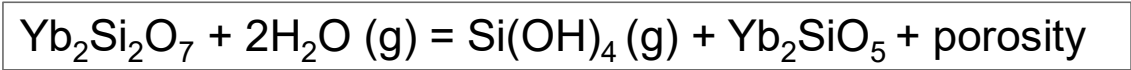
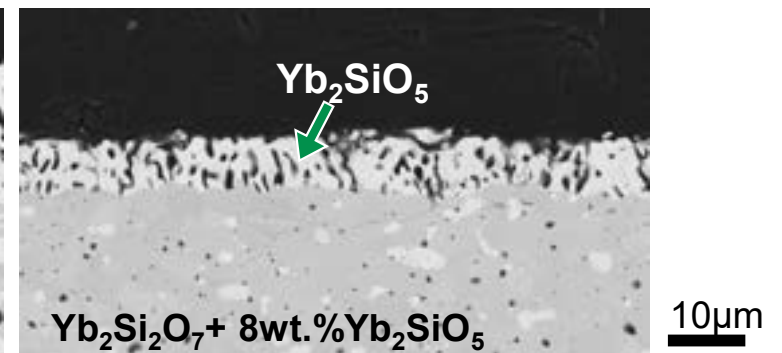
Coating (as-sprayed)



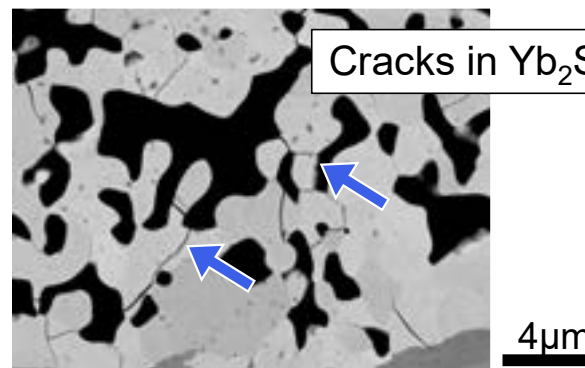
Coating (1500 °C-40 h, air)



FAST-SPS



Different pore morphology in Yb₂SiO₅ scales of coatings vs. FAST SPS

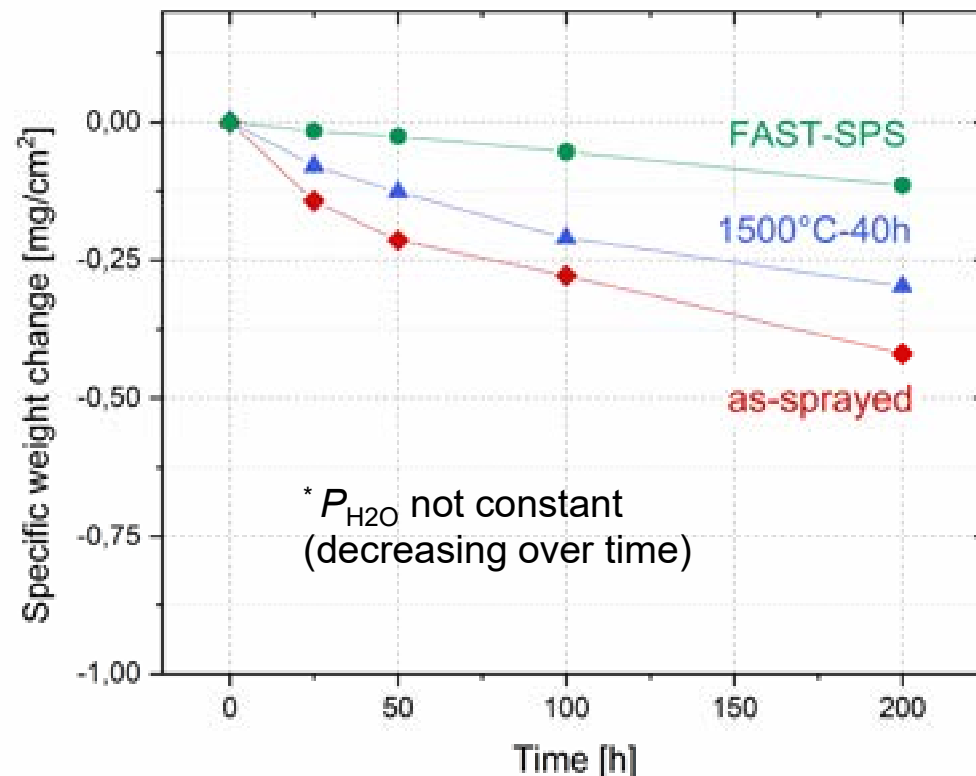


E. Bakan et al., Scripta Materialia
178 (2020) 468–471

HIGH VELOCITY STEAM CORROSION TEST RESULTS

Test conditions:

$T=1400\text{ °C}$, $v=90\text{ m/s}$, $P_{\text{H}_2\text{O}}=0.19\text{ atm}^*$, $P_{\text{total}}=1\text{ atm}$



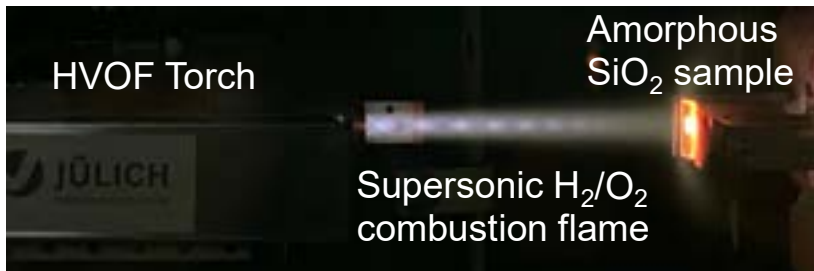
- Yb-silicate samples show reducing weight loss (k) as a function of time

$$k_{\text{as-sprayed}} > k_{1500^\circ\text{C-40h}} > k_{\text{FAST-SPS}}$$

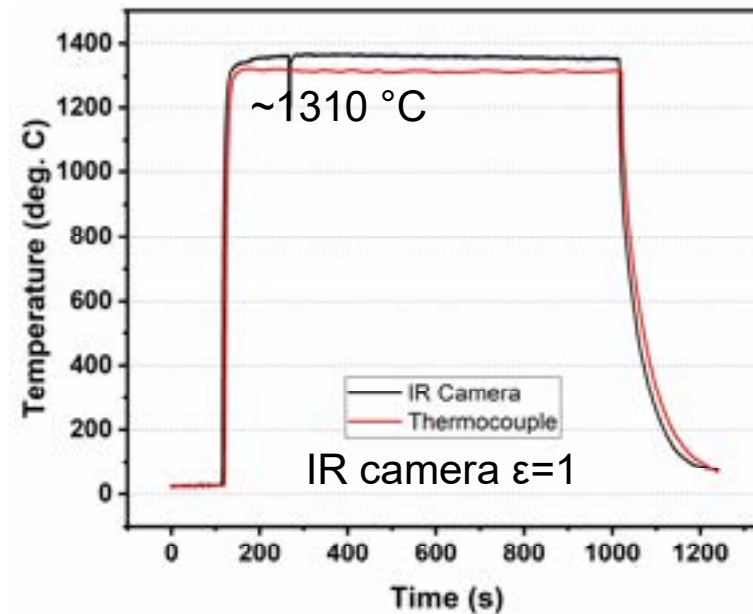
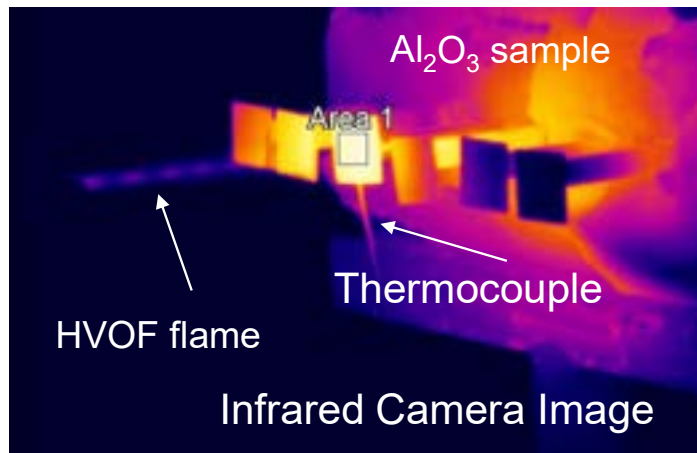
- **Parabolic weight loss kinetic** of $\text{Yb}_2\text{Si}_2\text{O}_7$ was also shown in an earlier work at similar and constant test conditions (PhD thesis, M. Fritsch, IKTS, Dresden)
- Possible diffusion limited process

IKTS Dresden, Dr. Hagen Klemm

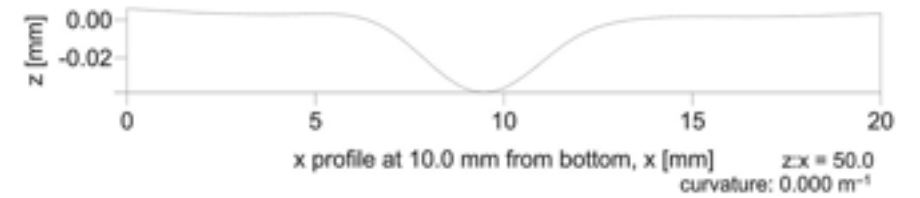
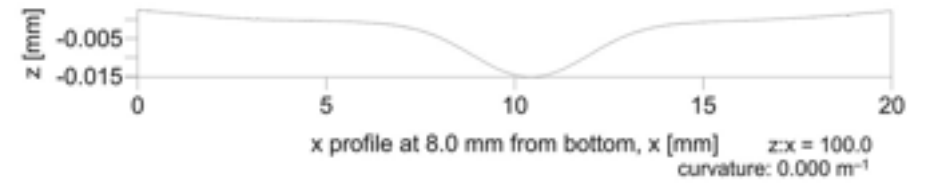
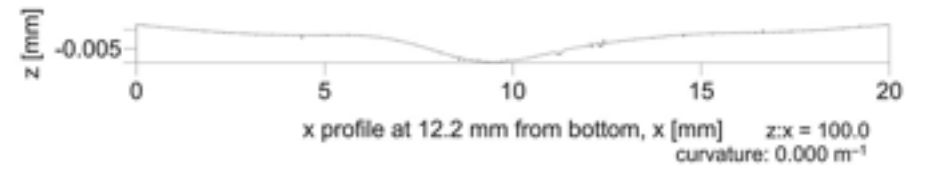
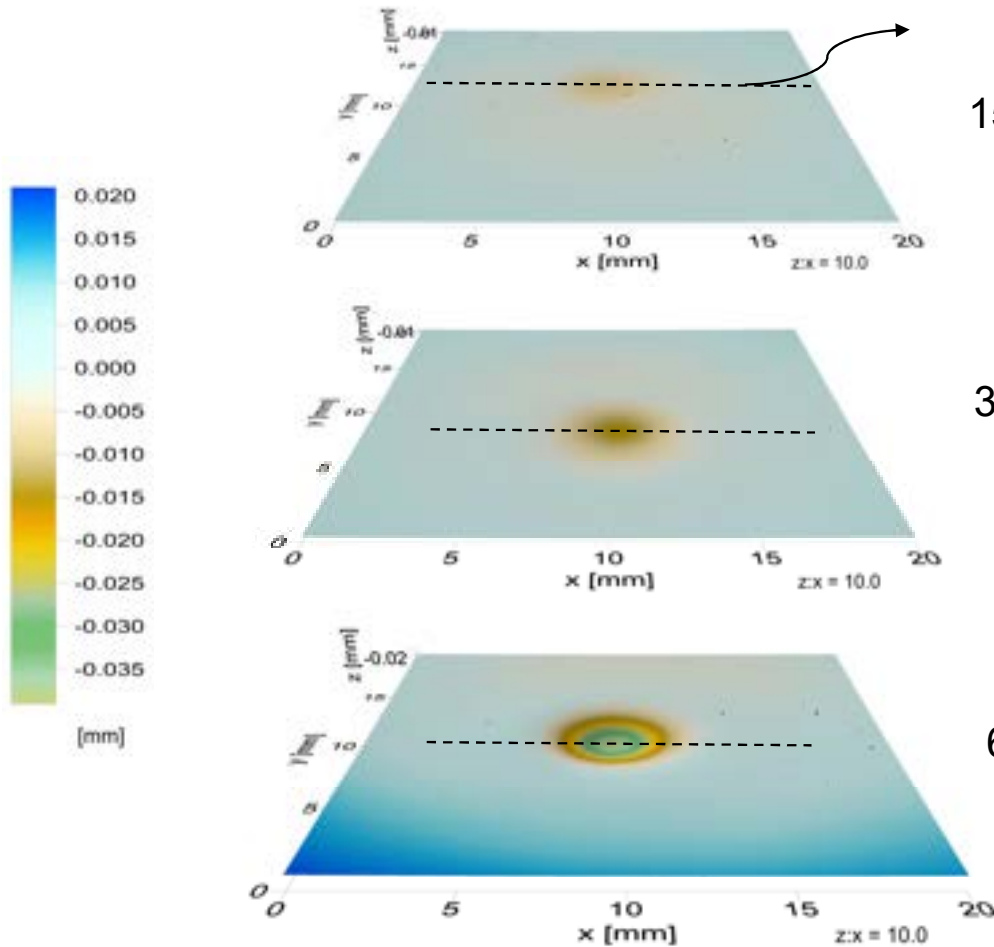
HVOF TEST CONDITIONS (DJ 2600, OERLIKON)



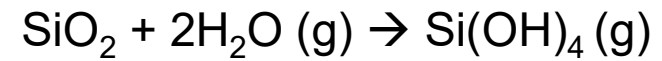
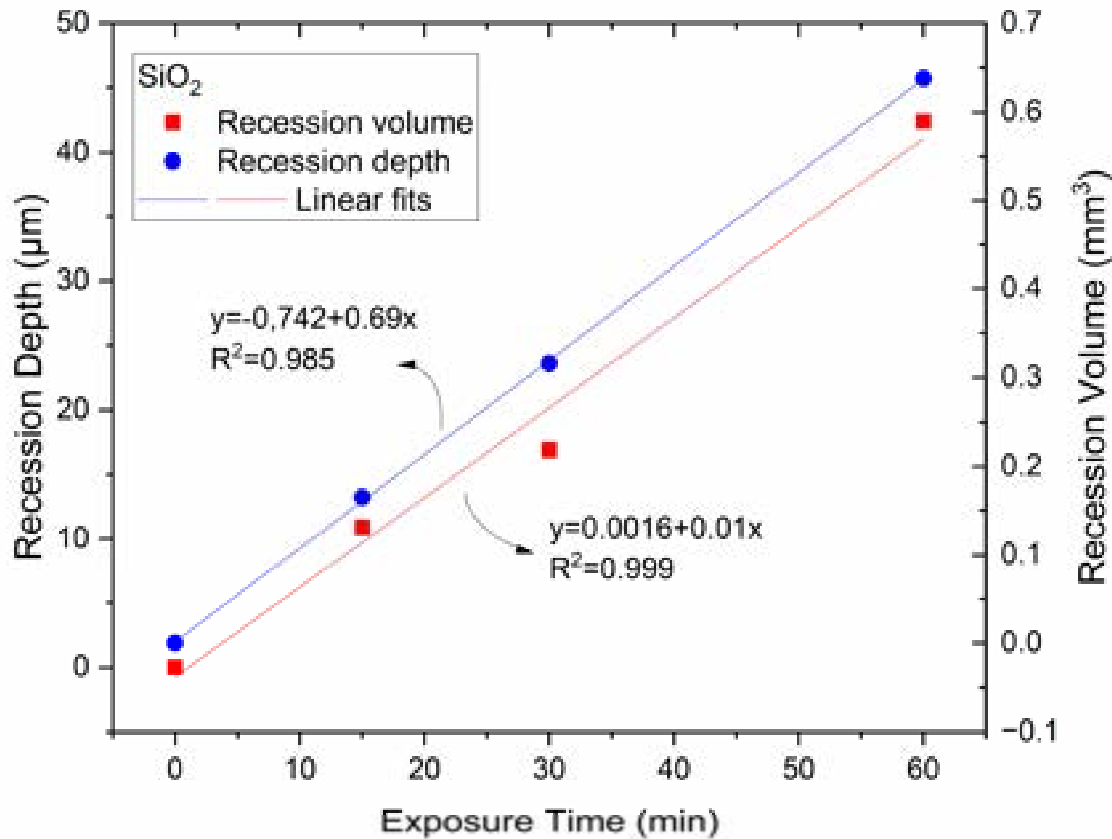
460 slpm shroud gas (air)
275 slpm O_2
550 slpm H_2
150 mm SOD



HVOF TEST-SiO₂



RECESSION RATE –SiO₂



- **41 µm/h, 0.6 mm³/h recession rate**
- Linear volatilization kinetics

RECESSION RATE – SiO₂ – 1300 °C

Golden & Opila
J. Eur. Ceram. Soc. (36)
1135-1147, 2016

HVOF Test
This study

Gas-boundary layer theory

$$J_l = 0.664 \left(\frac{\rho v L}{\mu} \right)^{1/2} \left(\frac{\mu}{\rho D_{AB}} \right)^{1/3} \frac{D_{AB} \rho'}{L}$$

$$J_t = 0.0365 \left(\frac{\rho v L}{\mu} \right)^{0.8} \left(\frac{\mu}{\rho D_{AB}} \right)^{1/3} \frac{D_{AB} \rho'}{L}$$

The model (with the assumption of 0.5atm H₂O pressure) estimates x6 larger recession rate in HVOF test (turbulent conditions) vs. Golden & Opila. Calculated recession rate is roughly half of the experimentally observed value.

ρ(T), g/cm ³	The concentration of H ₂ O in the boundary layer, ideal gas law	1,40E-04 (1 atm)	6,98E-05 (0.5 atm)
v, cm/s	Gas velocity	1,72E+04	2,24E+05 (*)
L, cm	Length of specimen exposure	7,50E-01	5,00E-01
μ(T), g/cms	Gas viscosity	5,44E-04	5,44E-04
D _{AB} (T), cm ² /s	The interdiffusion coefficient for the volatile species in the gas boundary layer	2,41E+00	2,41E+00
ρ'(T), g/cm ³	Equilibrium concentration of the volatile species at the oxide–gas interface, ideal gas law	3,70E-09	3,70E-09
J _l , g/cm ² s	Mass flux, laminar	5,33379E-07	2,0992E-06
J _t , g/cm ² s	Mass flux, turbulent	3,33808E-07	2,0391E-06
R _{max-l} , μm/h	Calculated recession depth, laminar	5,17E+00	2,04E+01
R _{max-t} , μm/h	Calculated recession depth, turbulent	3,23E+00	1,98E+01

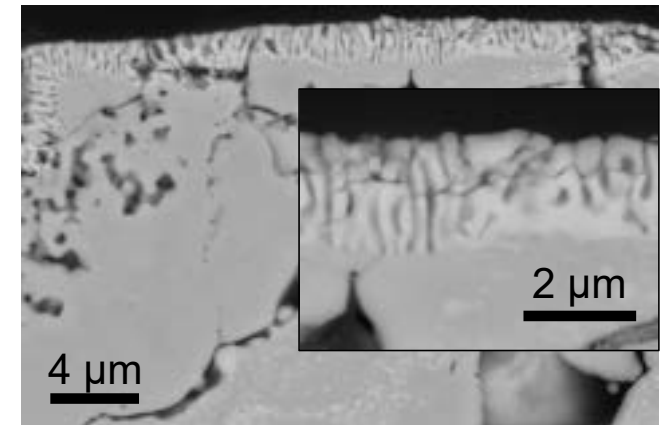
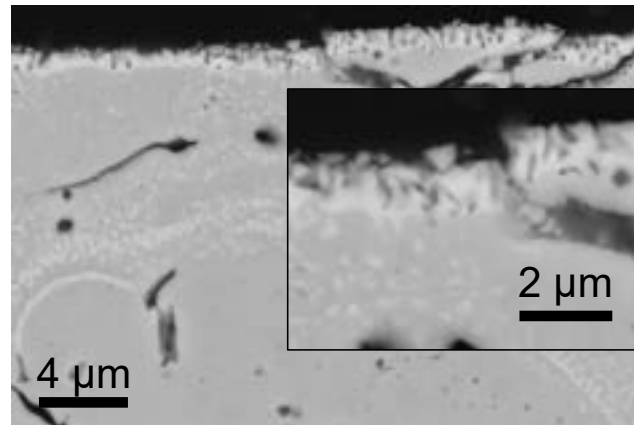
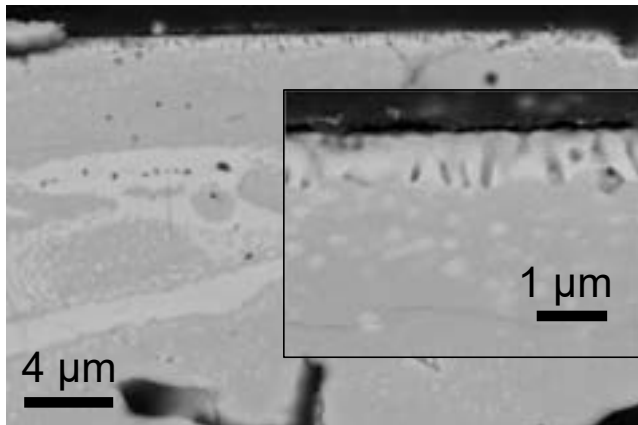
(*) Gatzen et al., J Am Ceram Soc. 2019;102:6850–6862.

HVOF TEST-APS YbDS POLISHED

15 min

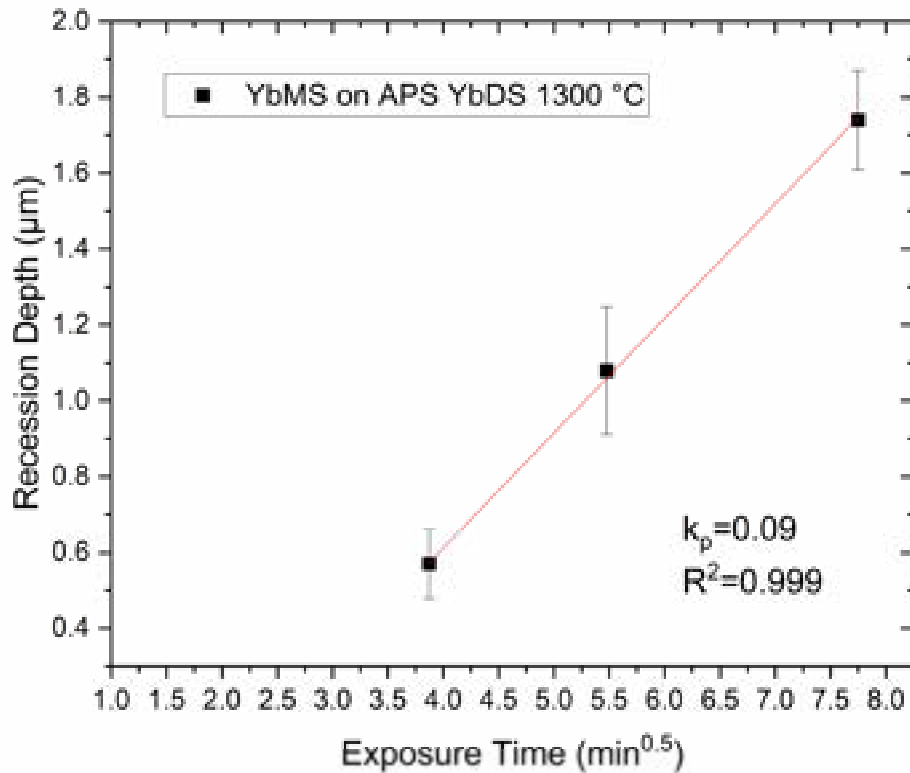
30 min

60 min



Central part of the samples

HVOF TEST- APS YbDS POLISHED



- **Parabolic reaction kinetics**, possibly diffusion-controlled
- In contrast to SiO₂ results, **kinetics for YbDS reaction is slower** (0.09 µm²/min or 5.47 µm²/h) in HVOF test in comparison with the literature:

$$k_p = 7 \pm 1 \text{ } \mu\text{m}^2/\text{h} \text{ at } 80\text{-}115 \text{ m/s, } 1300^\circ\text{C, } 1 \text{ atm H}_2\text{O}$$

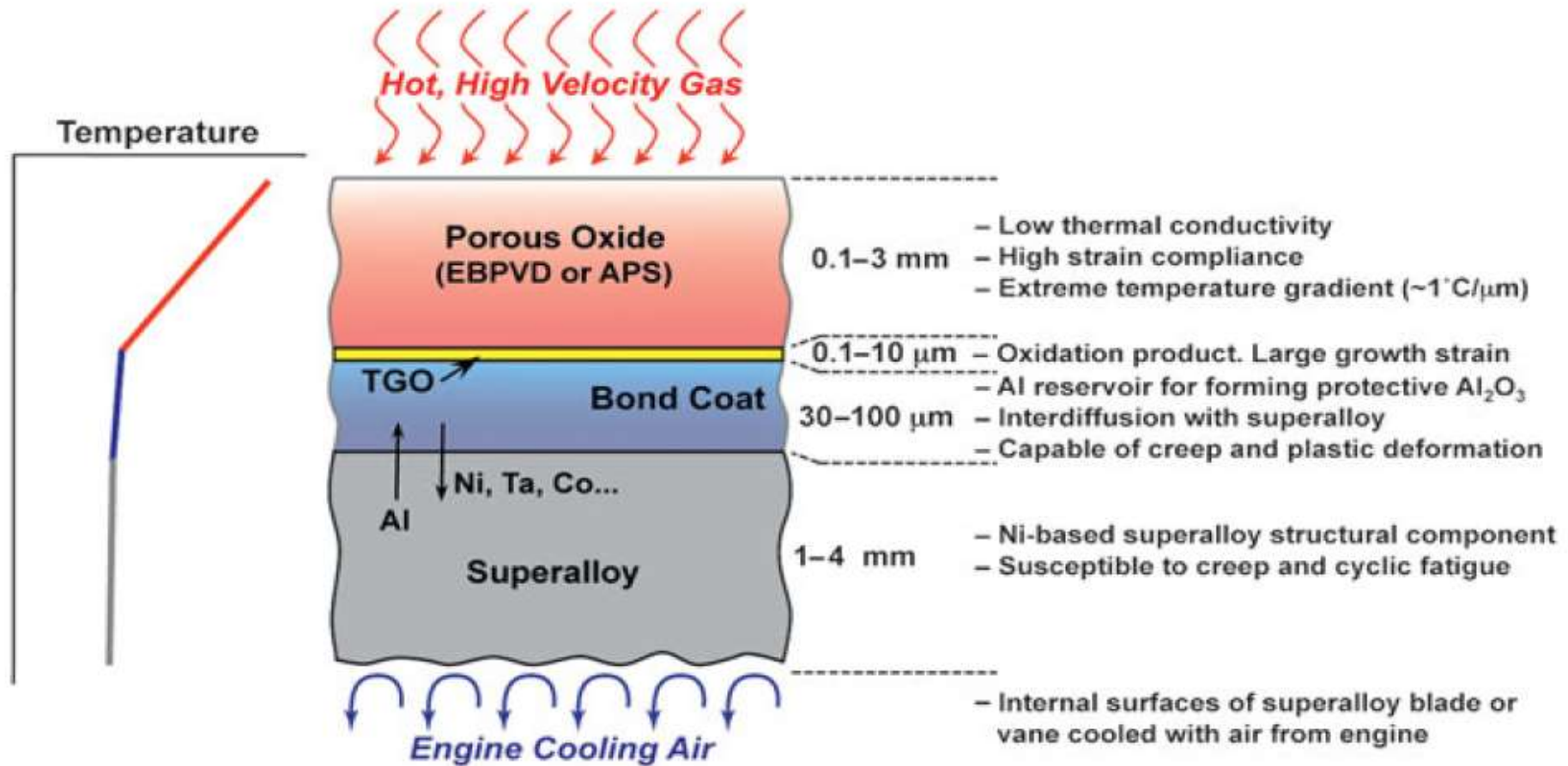
M. Ridley and E. Opila, Journal of the European Ceramic Society 41 (2021) 3141–3149

Possible reasons:

Error in the measurement?

Inadequate theoretical description!

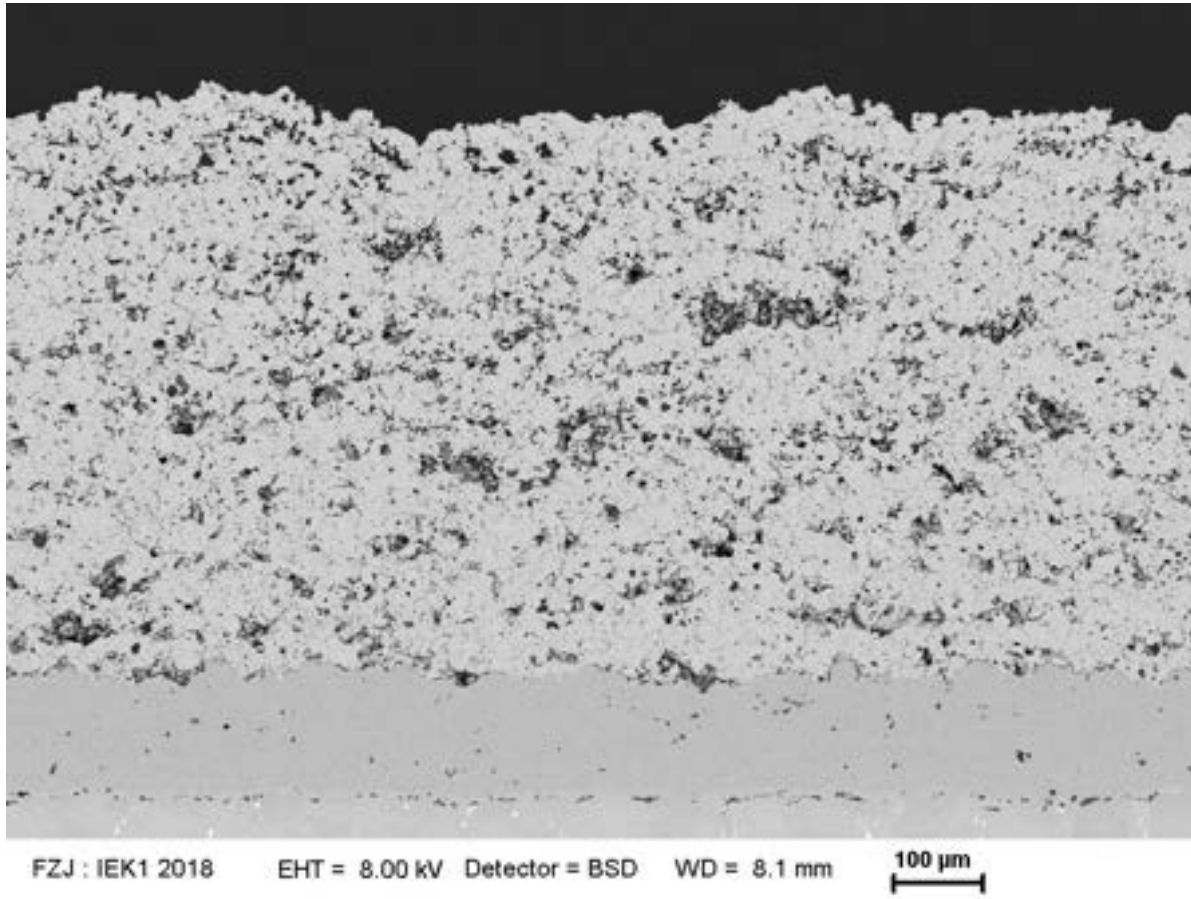
Principle of Thermal Barrier Coatings (TBCs):



MRS Bulletin 2012 Vol . 37 No. 10

stationary condition:
$$j_Q = -\lambda \frac{\Delta T}{\Delta x}$$

APS WÄRMEDÄMMSCHICHTSYSTEM



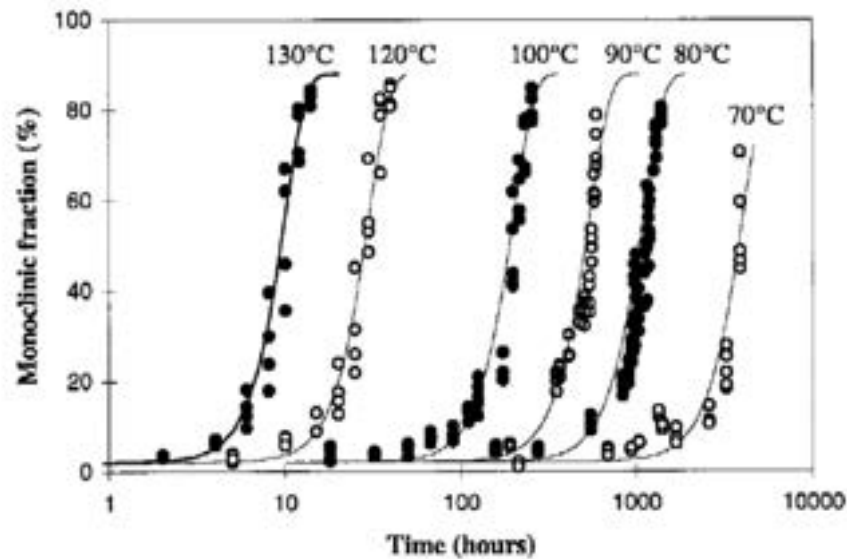
7YSZ Amperit Pulver
(H.C. Starck Amperit 827.006,
 $d_{10}=54 \mu\text{m}$, $d_{50}=80 \mu\text{m}$, $d_{90}=112 \mu\text{m}$)
TriplexPro Brenner,
15% Porosität

NiCoCrAlY (Oerlikon Metco, Amdry
386) VPS F4 Haftvermittlerschicht

IN738 Substrate

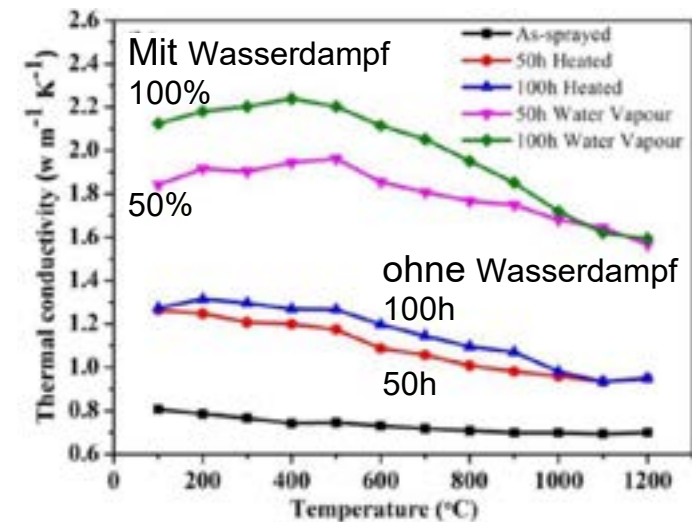
EINFLUSS VON WASSERDAMPF AUF APS SYSTEME

Phasenumwandlung in 3 YSZ



Chevalier et al 2005

Sintern bei 1100°C



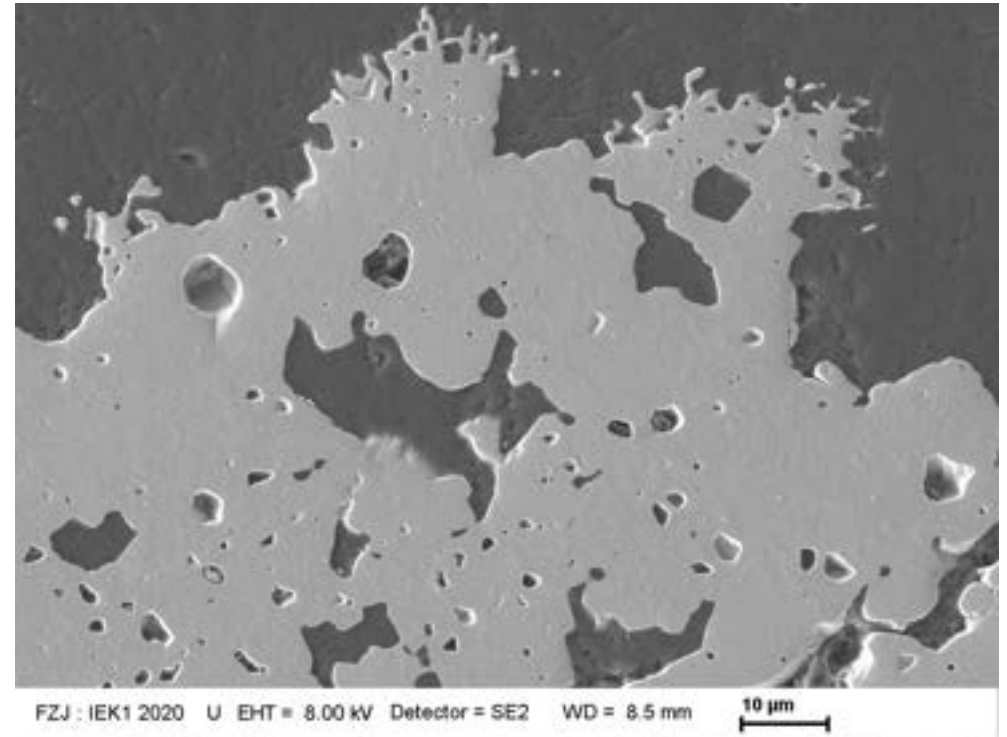
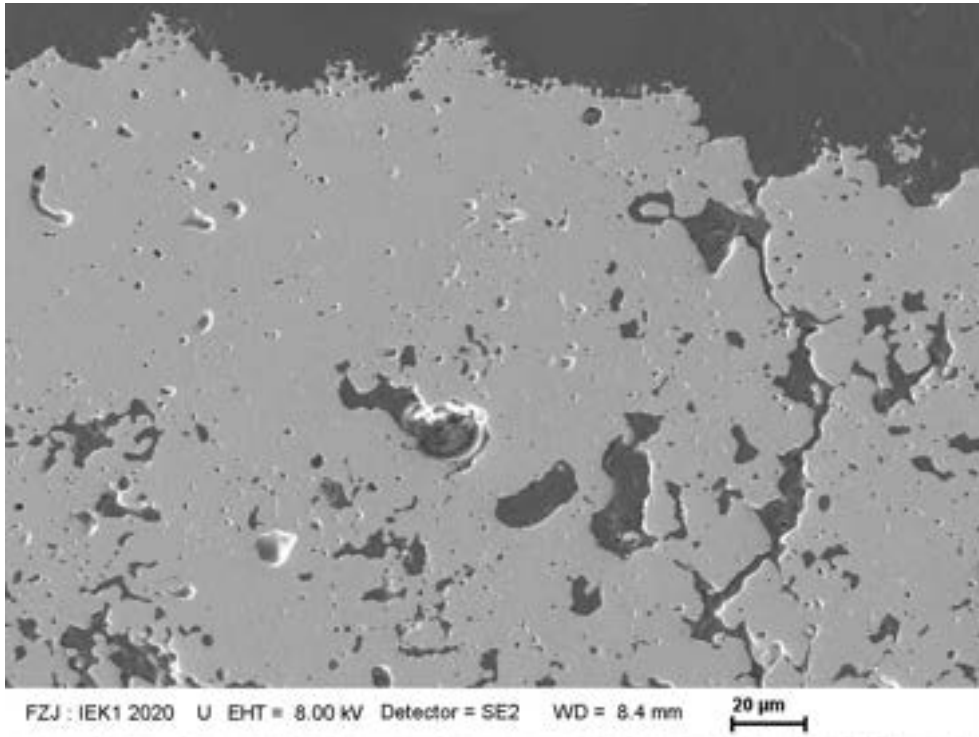
Sivakumar et al 2018

Wasserdampf hat Einfluss auf Phasenumwandlung und Sintern

Neue Projekte sind angelaufen, Zusammenhänge genauer zu klären

REM Mikrostrukturabbildung von Gasbrenner-Probe

Langsame Abkühlung ($T_{\text{Oberfläche}} = 1554^{\circ}\text{C}$, $T_{\text{Bondcoat}} = 1088^{\circ}\text{C}$, Zyklen beim Versagen 1933 (~160 h).



Facettierte Oberflächenbereiche

Gasphasenreaktion von YSZ mit Brennergasströmung (H_2O ?)

Zusammenfassung

Standard EBC Schichten ($\text{Yb}_2\text{Si}_2\text{O}_7$) zeigen deutliche Degradation unter schnellem Wasserdampf

Die Degradationsraten werden stark von der Geschwindigkeit, der Porosität und der Temperatur bestimmt

Unterschiedliche Testmöglichkeiten wurden vorgestellt (Gasbrenner, IKTS Rig, HVOF Brenner, Ofen), die genauen Randbedingungen bestimmen die Ergebnisse

Auch Wärmedämmschichten (YSZ) zeigen eine Degradation (Sintern, Phasenumwandlung, Abdampfen?) unter Wasserdampf, genaue Analysen ausstehend

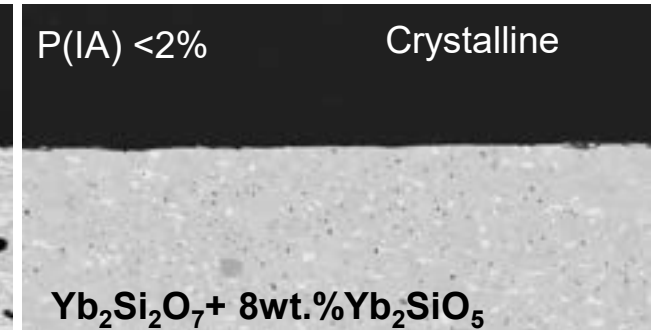
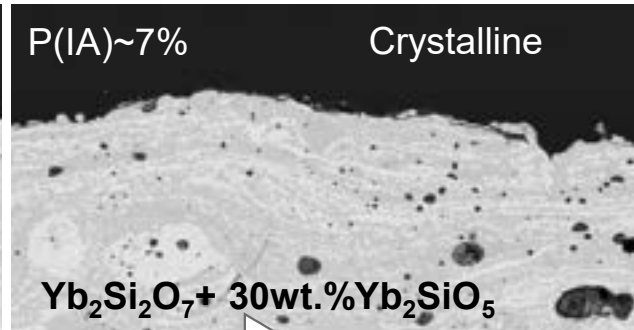
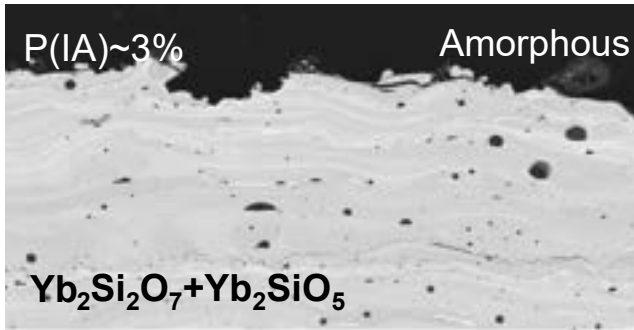
Danke für Ihre Aufmerksamkeit!

MICROSTRUCTURE OF THE SAMPLES BEFORE TEST

Coating (as-sprayed)

Coating (1500 °C-40 h)

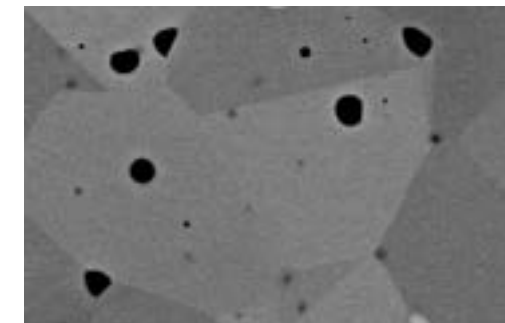
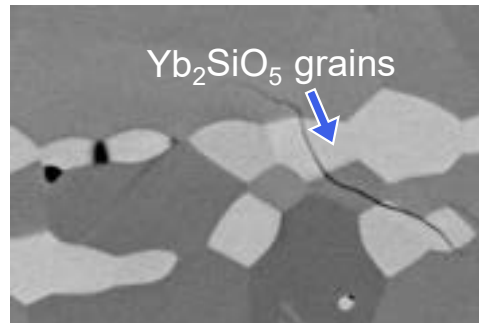
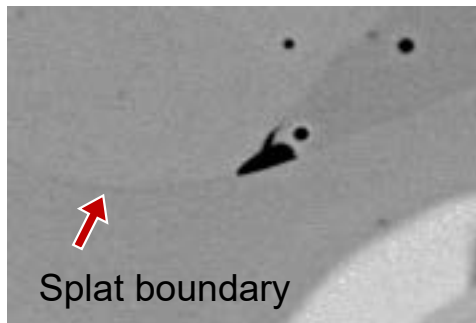
FAST-SPS



20µm

Porosity increases due to crystallization shrinkage

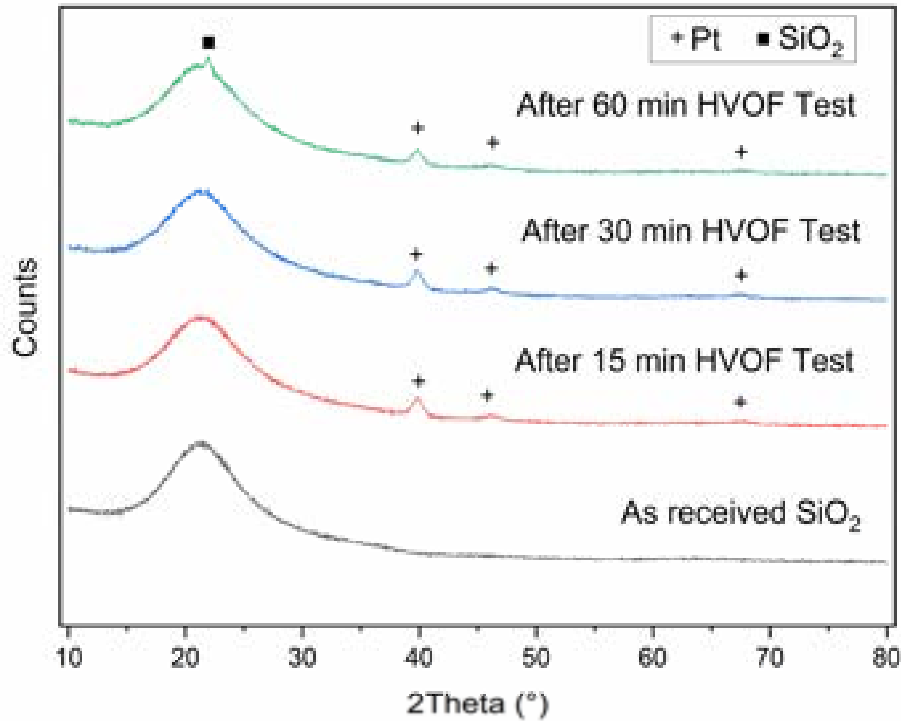
More homogenous pore distribution and smaller pores



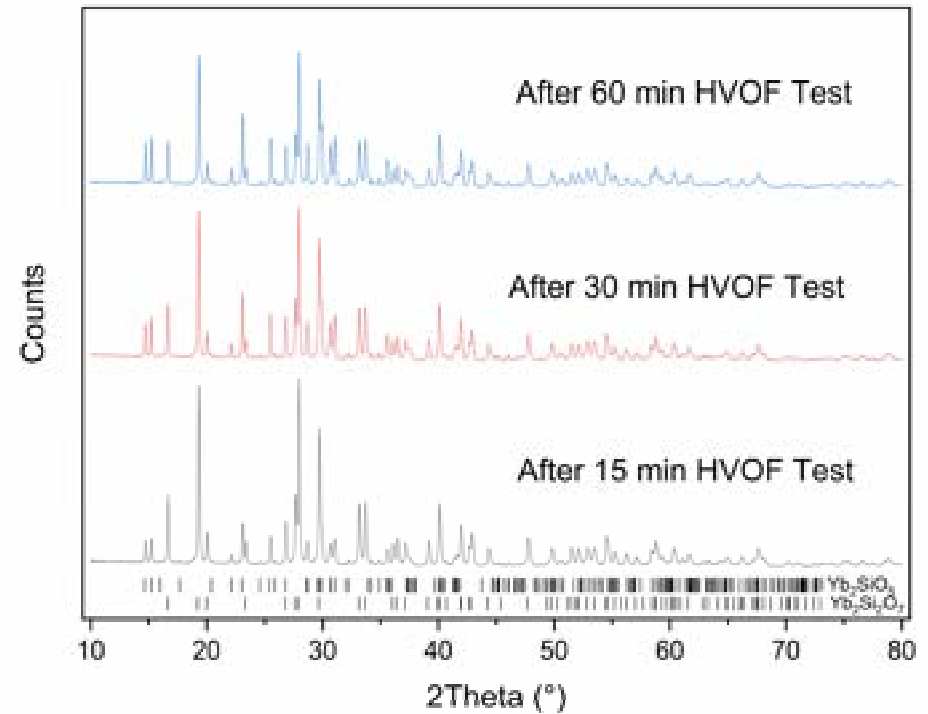
1µm

Grain size changes from ~1-2 µm to 5-6 µm

XRD

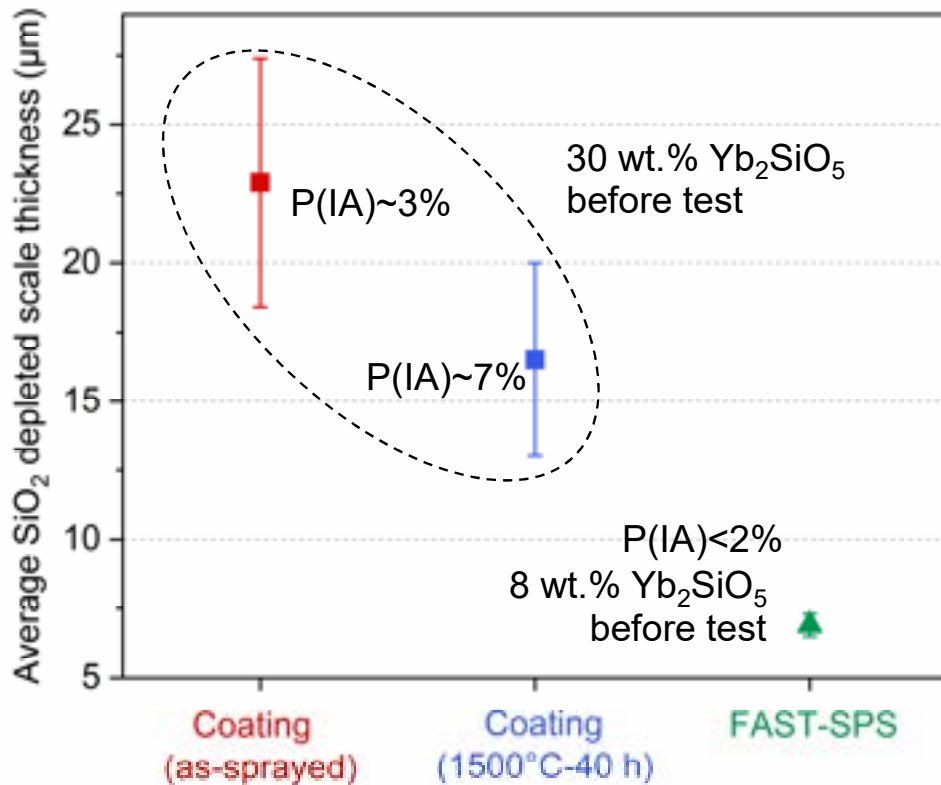


- Indication of crystallization (cristobalite SiO₂) after 1 h testing
- Pt layer was added to make the surface reflective to light for surface profilometry measurements



- YbMS content increase is also visible at longer test times via XRD

HIGH VELOCITY STEAM CORROSION TEST RESULTS



- SiO₂ depleted scale thicknesses (t) consistent with the measured weight losses (k)

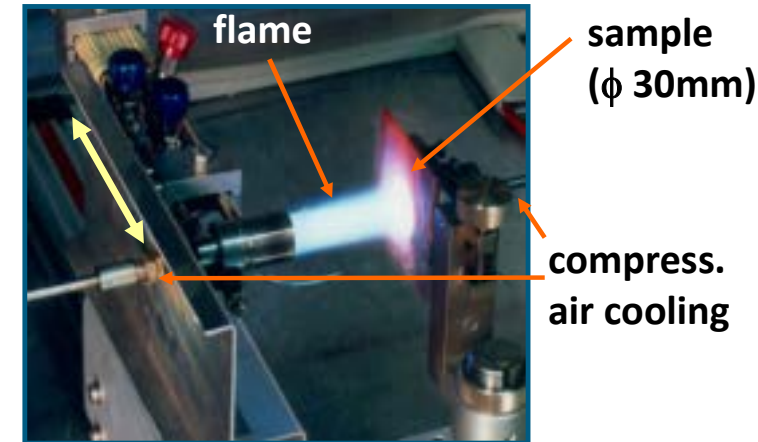
$$k_{\text{as-sprayed}} > k_{1500^{\circ}\text{C-40h}} > k_{\text{FAST-SPS}}$$

$$t_{\text{as-sprayed}} > t_{1500^{\circ}\text{C-40h}} > t_{\text{FAST-SPS}}$$

- Higher volume of porosity possibly increases the inward H₂O (g)/outward Si(OH)₄ (g) diffusion rates in the coatings vs. FAST-SPS sample
- Differences between as-sprayed and 1500 °C-40 h coating possibly related to recrystallization (=large pores in Yb₂SiO₅ scale) in the as-sprayed coating

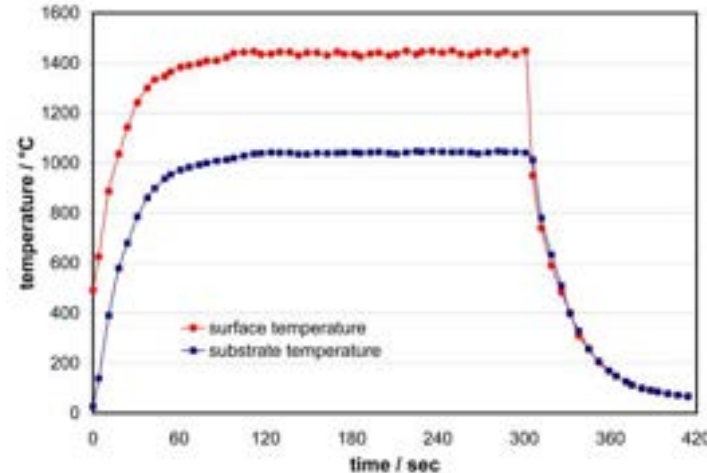
Burner rig testing

- 7 rigs available operated with CH₄/oxygen burners & compressed air cooling
- Independent adjustment and control of surface (measured with pyrometer) & substrate temperatures (thermocouple in substrate)
- High cyclic loading in combination with TGO growth



Typical test conditions:

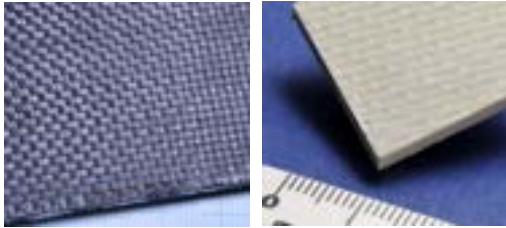
- $T_{\text{substrate}}$ 1050°C
- $T_{\text{interface}}$ ~1090°C
- T_{surface} 1400°C
- Cycle duration:
5 min heating, 2 min cooling



ENVIRONMENTAL BARRIER COATINGS (EBCS)

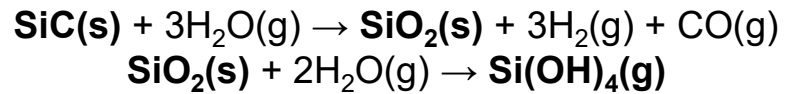
Protection of Ceramic Matrix Composites (CMCs)

SiC/SiC CMC
Ox/Ox CMC
 ($\text{Al}_2\text{O}_3/\text{Al}_2\text{O}_3$)



Structural materials for gas turbine engine components along the hot gas path

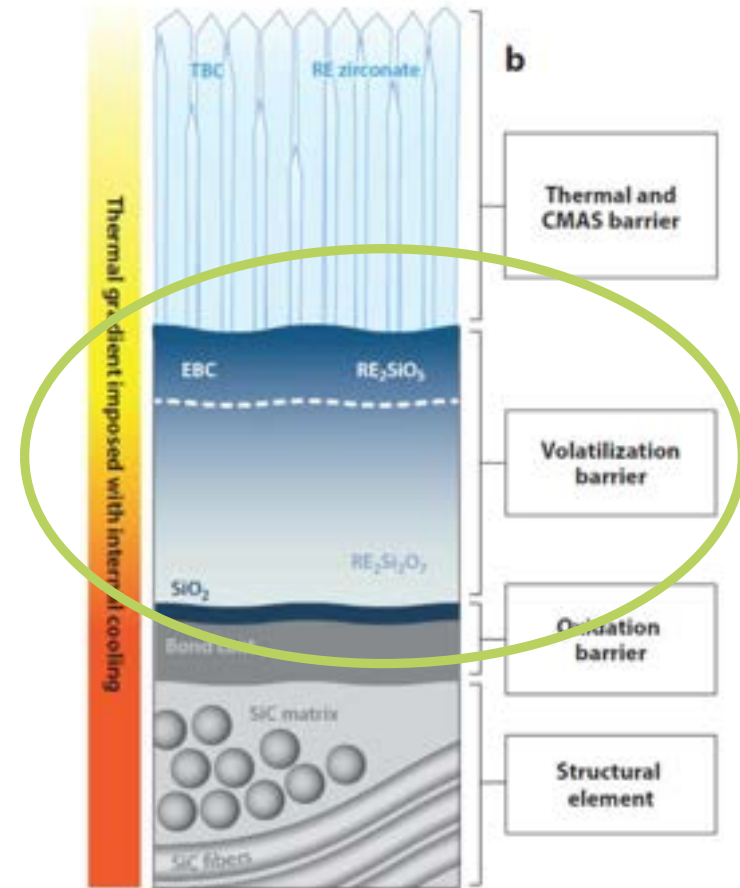
Volatilization in water vapor



$$k_{\text{laminar}} = a \cdot \exp\left(\frac{-E}{RT}\right) \cdot v^{1/2} \cdot (P_{\text{H}_2\text{O}})^n \cdot P^{-1/2}$$

$$k_{\text{turbulent}} = a \cdot \exp\left(\frac{-E}{RT}\right) \cdot v^{4/5} \cdot (P_{\text{H}_2\text{O}})^n \cdot P^{-1/5}$$

E. J. Opila et al., J. Am. Ceram. Soc., 1999

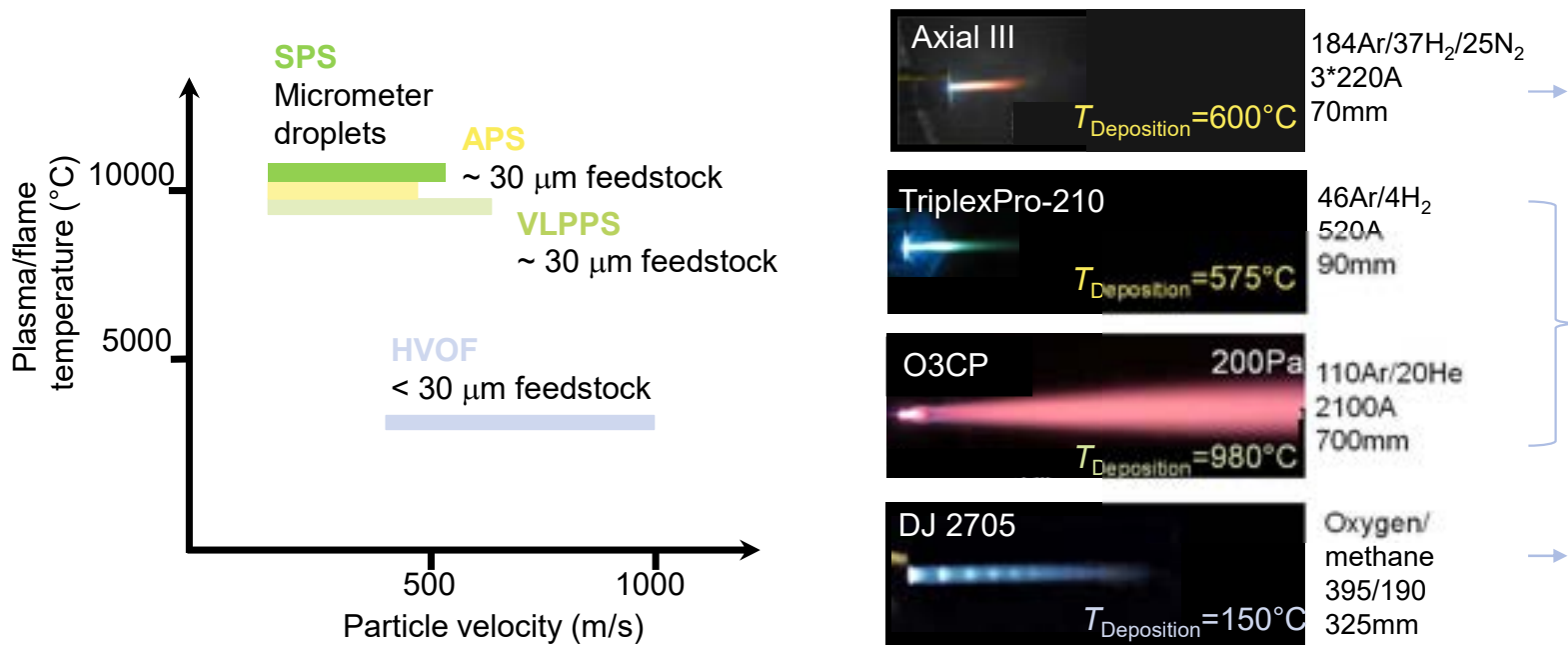


D. L. Poerschke et al., Annu. Rev. Mater. Res. 47 (2017) 297-330

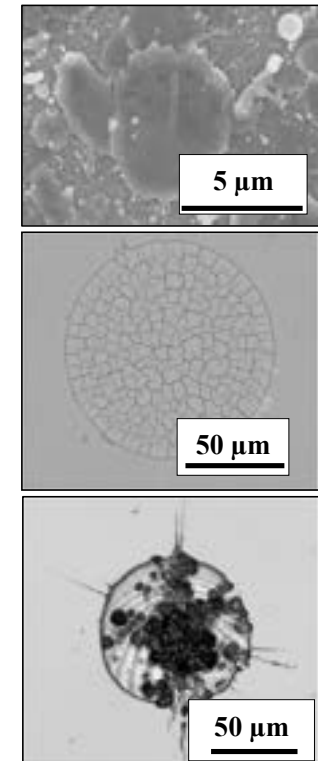
THERMAL SPRAY TECHNIQUES: APS, SPS, HVOF & VLPPS

- APS** Atmospheric Plasma Spraying
- SPS** Suspension Plasma Spraying
- HVOF** High Velocity Oxygen Fuel Spraying
- VLPPS** Very Low Pressure Plasma Spraying

Deposition Conditions and Feedstock

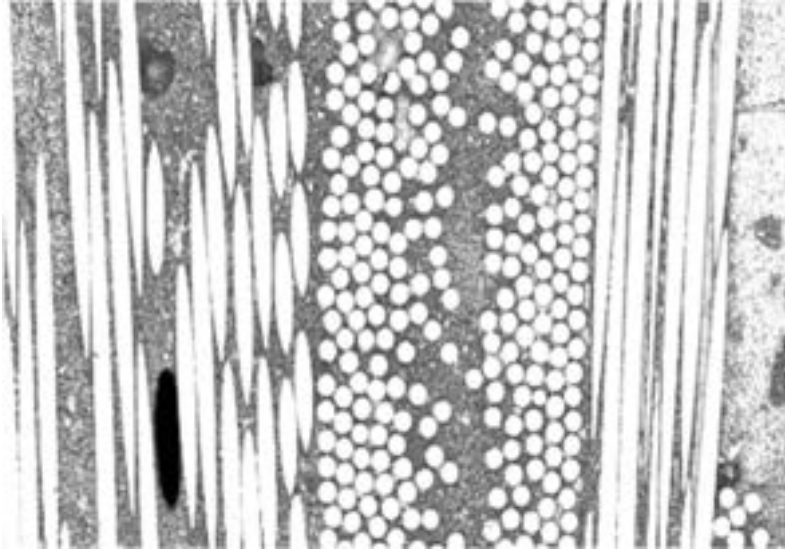


Typical splats:



All technologies available in the **Jülich Thermal Spray Center (JTSC)**

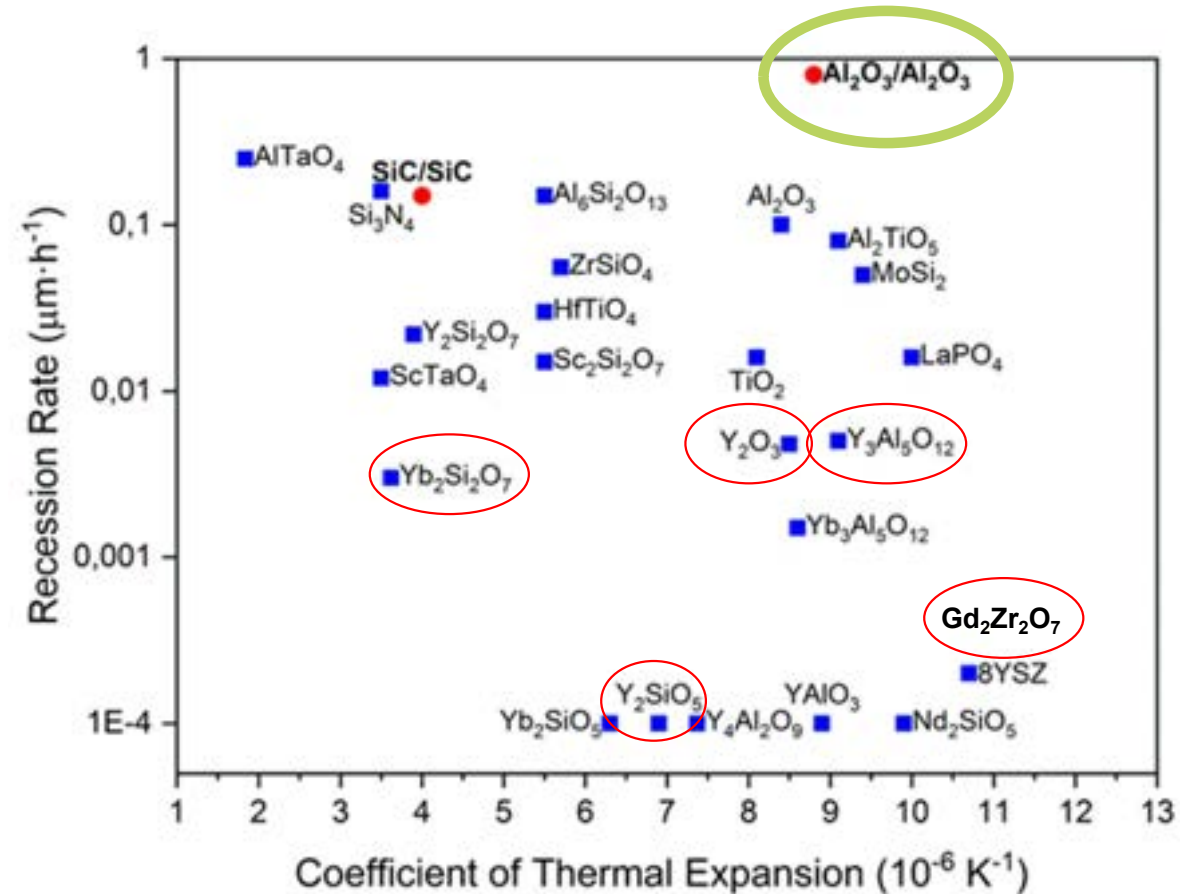
EBCS FOR OX-OX CMCS



- Fiber: Nextel 610
- Matrix: 85 % Al_2O_3 + 15 % 3YSZ
- Density: $2,88 \text{ g}\cdot\text{cm}^{-1}$
- Porosity: 29 %

W.P. A. Rüdinger, *Keramische Zeitschrift*, **03** (2013) 166-169

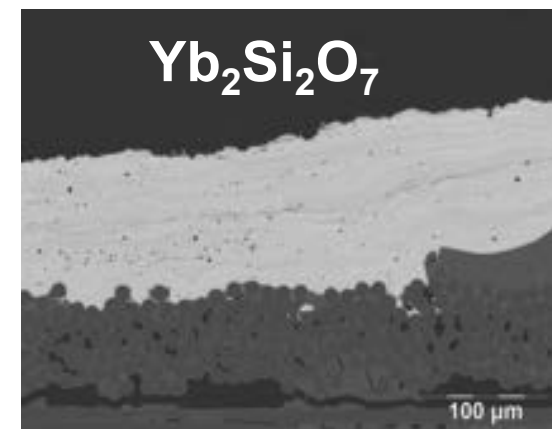
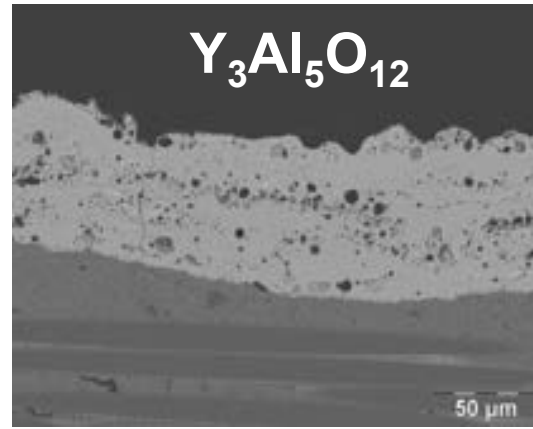
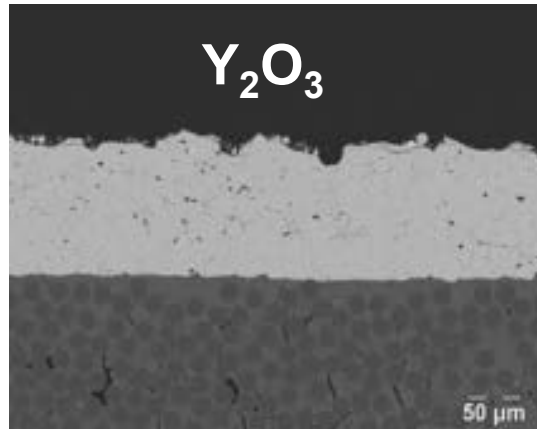
Mitglied der Helmholtz-Gemeinschaft



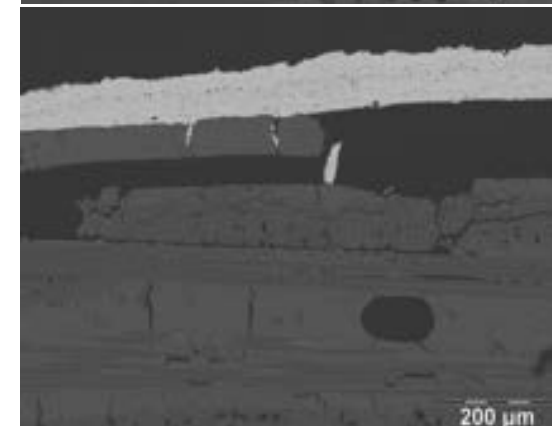
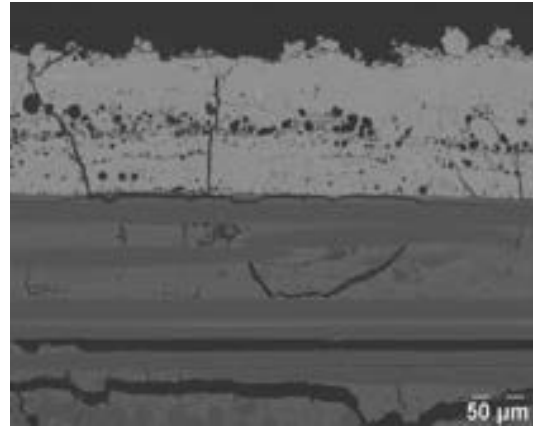
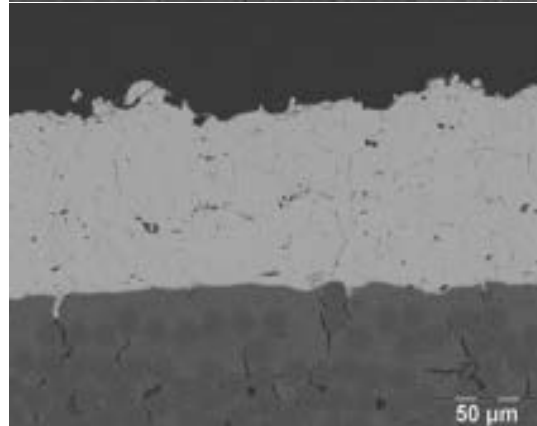
M. Herrmann, H. Klemm, *Comprehensive Hard Materials* **2014**, 2, 413-446.

DIFFERENT EBCS MADE BY APS

As-sprayed



After
heat-treatment
4x 20 h, 1200 °C



Good adherence

Cracks at interface
large porosity

Delamination due to large
TEC mismatch!

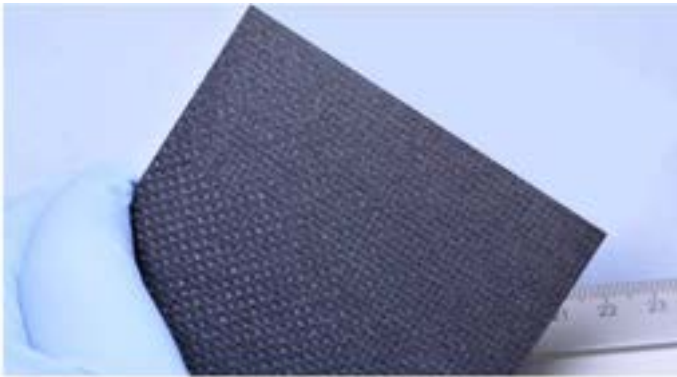
R. Vaßen, et al, Coatings 2019, 9, P. 784

Mitglied der Helmholtz-Gemeinschaft

EBCS FOR NON OXIDE CMCS

Substrates:

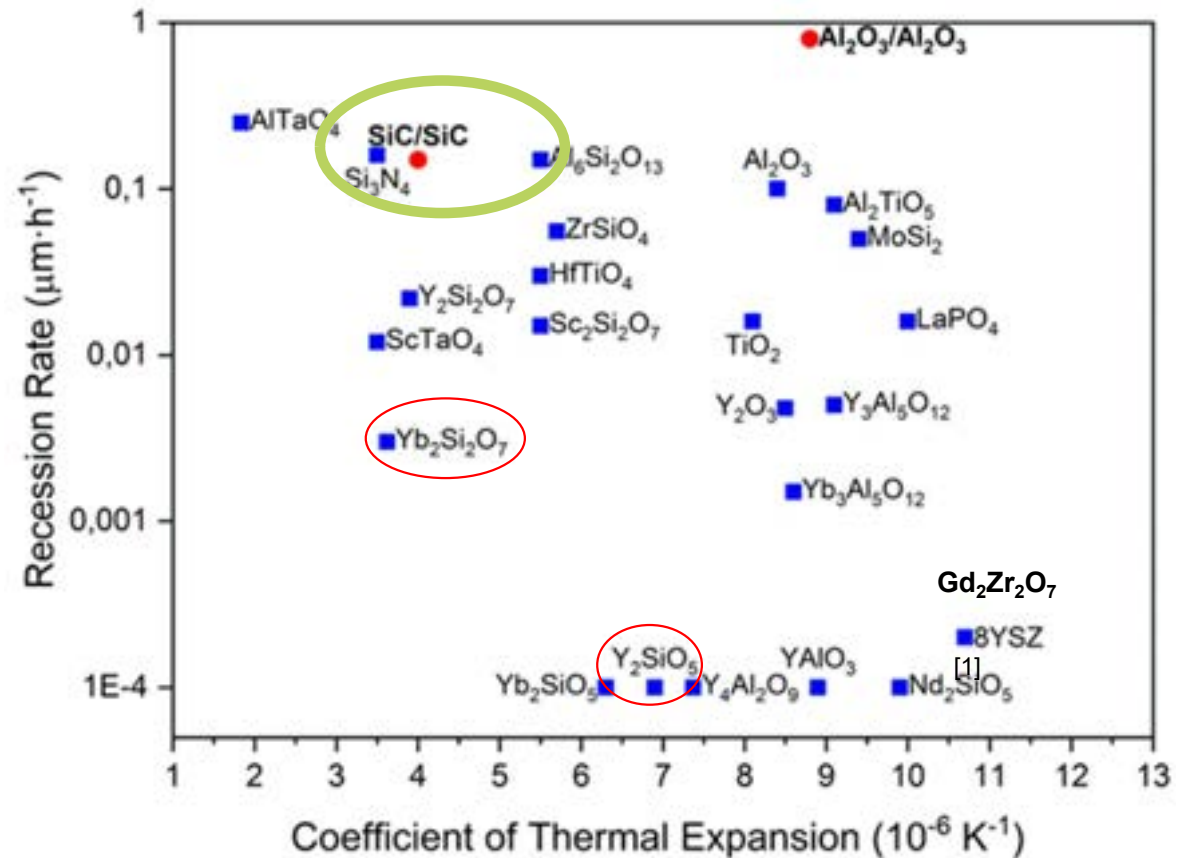
SiC/SiCN CMC, DLR Stuttgart



using Tyranno SA3 SiC fibers

α -SiC HexoloyTM substrates

(Saint Gobain Ceramics, Niagara Falls, NY)



M. Herrmann, H. Klemm, *Comprehensive Hard Materials* 2014, 2, 413-446.